

Prévisibilité décennale

Juliette Mignot, Eric Guilyardi, Sonia Labetoulle, Didier Swingedouw,
Benoît Vannière, Sébastien Masson, Gurvan Madec

Plan:

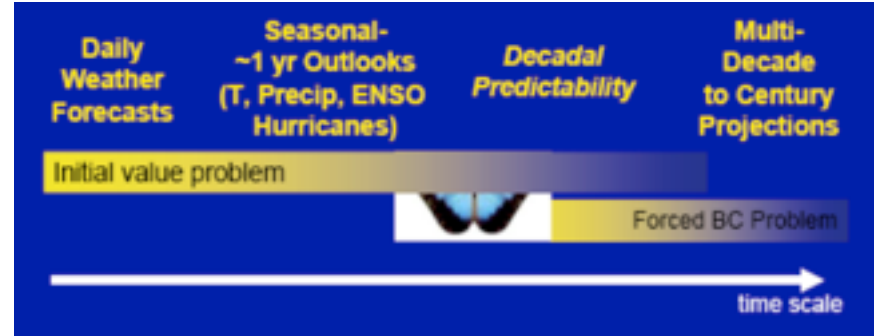
- Introduction
- Etude en modèle parfait
- Initialisation: l'approche IPSL
- Premières simulations CMIP5
- Prochaines étapes



Pôle de modélisation IPSL
29 Juin 2010



Questions scientifiques



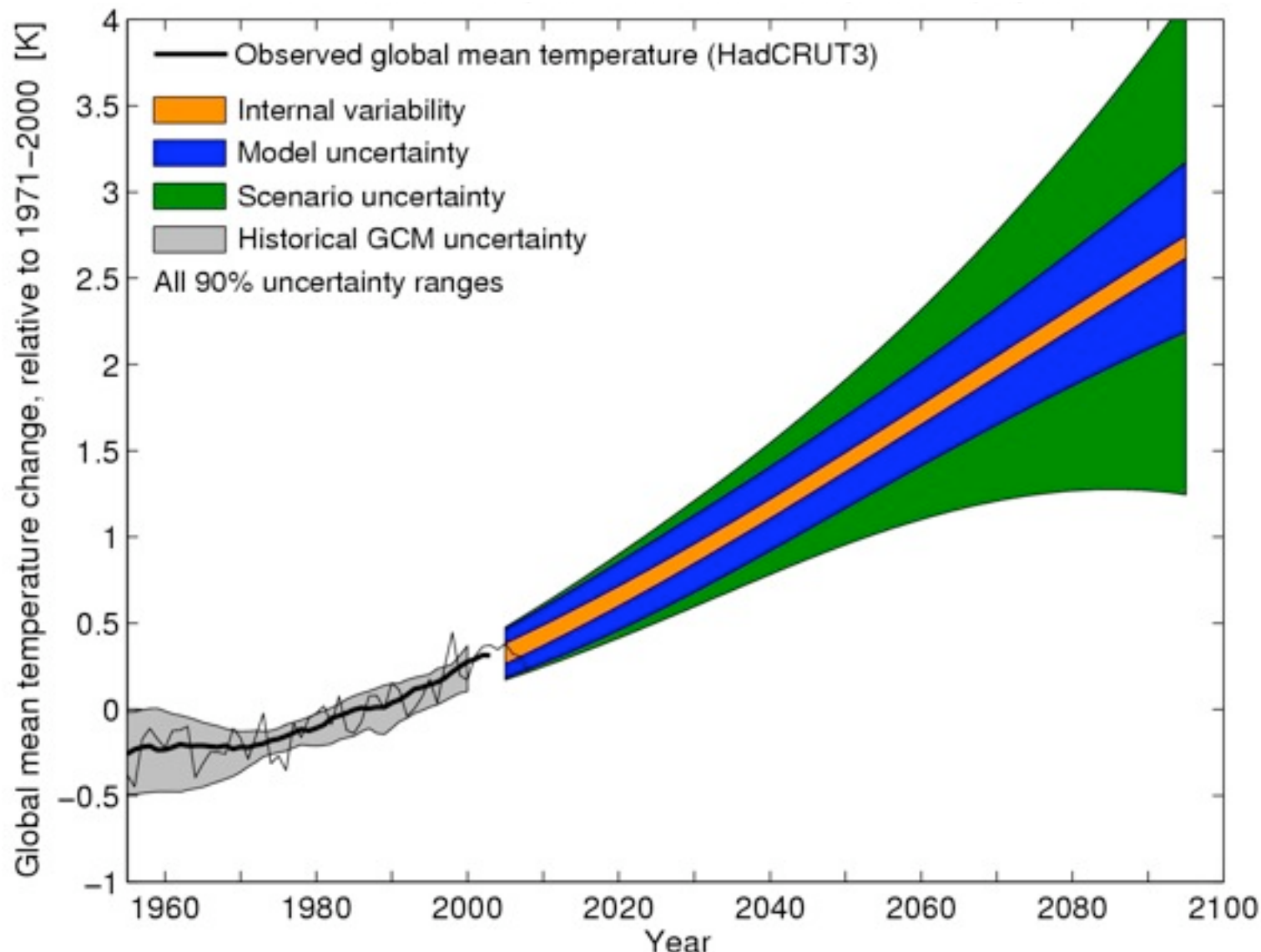
- Quelle prévisibilité décennale ?
- Mécanismes associés
- Focus Atlantique Nord (Tropiques et austral à suivre)

Mais aussi:

- Comment initialiser le système couplé O/A (+SI/LS) ?
- Prévisibilité potentielle et études en modèle parfait
- Comprendre l'ajustement initial du modèle

Projections 21ème siècle

Sources d'incertitude pour les projections décennales de température moyennes



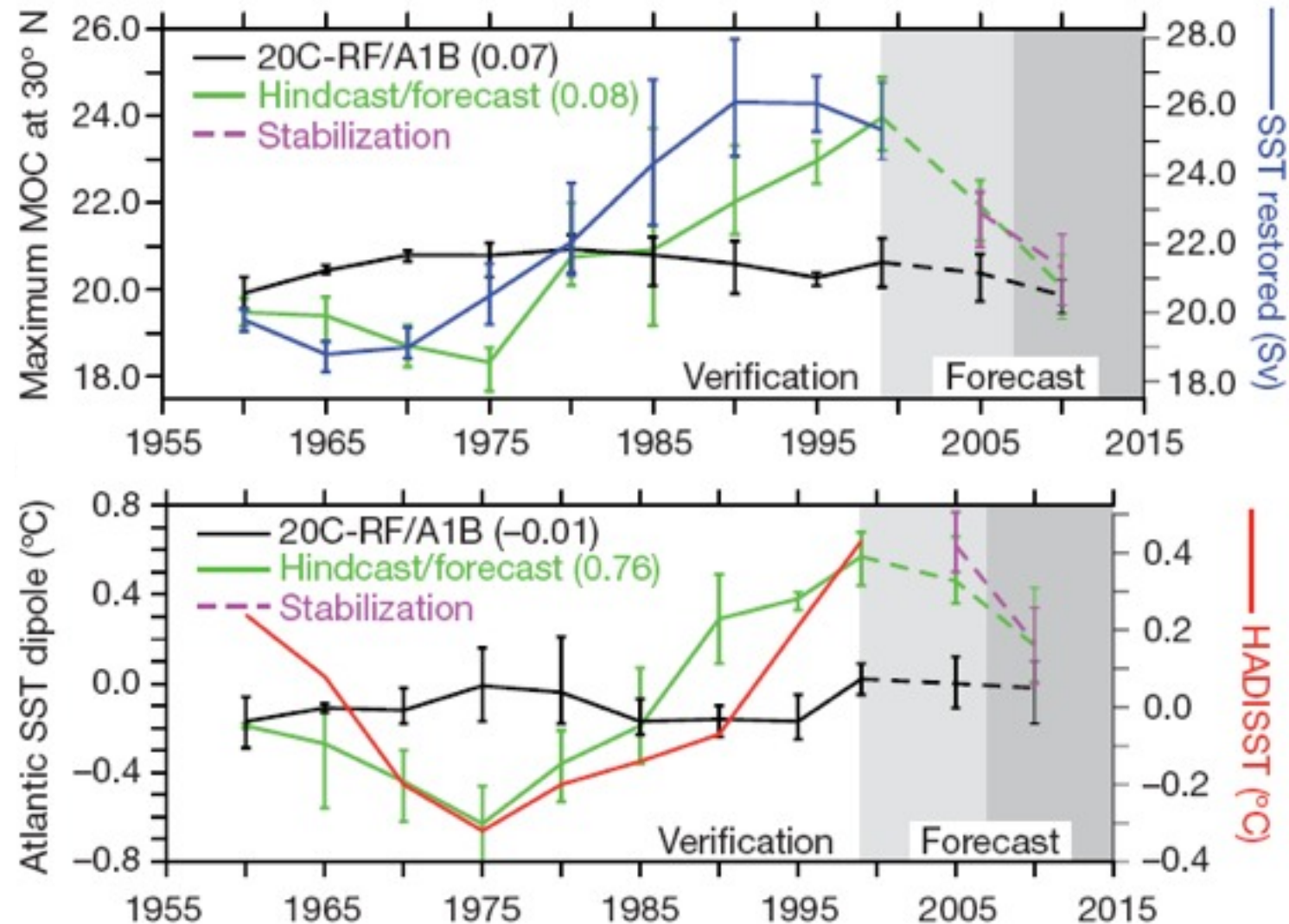
Un exemple d'exercice de prévision décennale

ECHAM5/MPI-OM

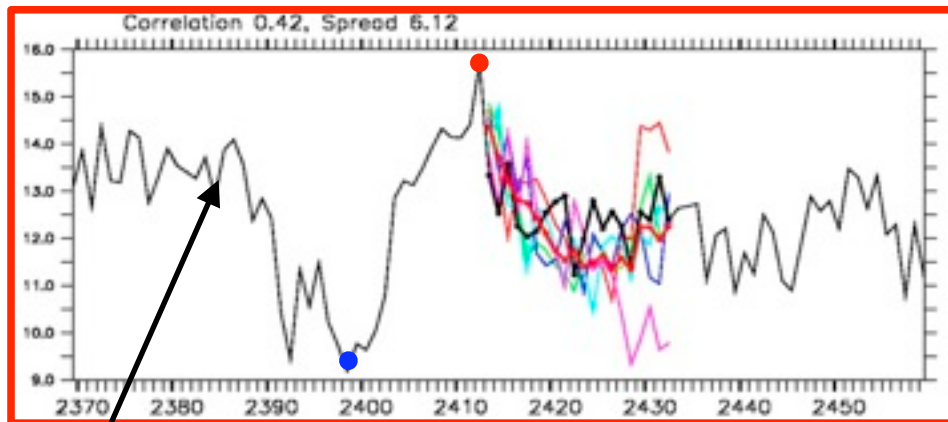
Keenlyside et al. 2008



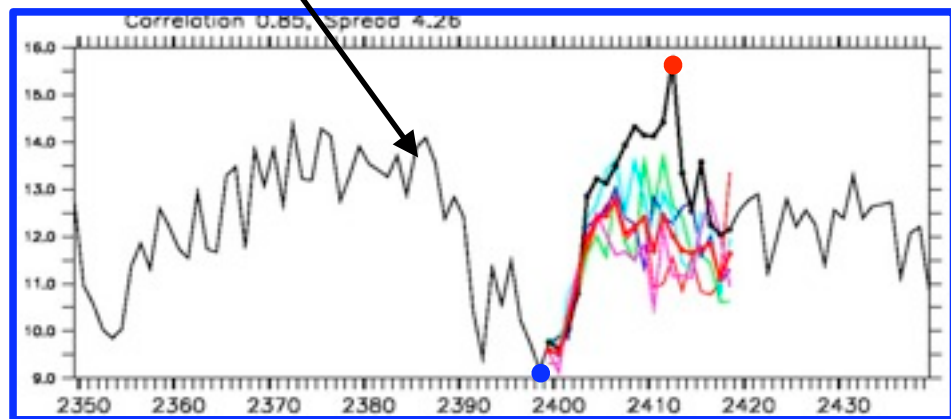
Les variations basse fréquence de la circulation océanique et la structure de SST associée sont mieux représentées dans une simulation initialisée



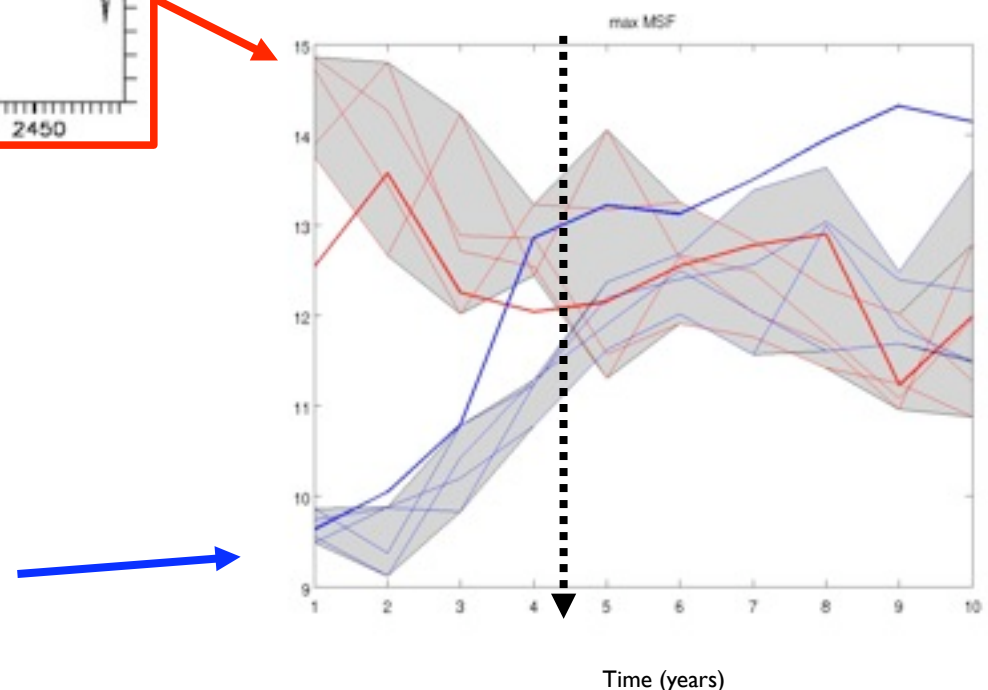
Prévisibilité de IPSL-CM5 en modèle parfait



CTL= ST11R

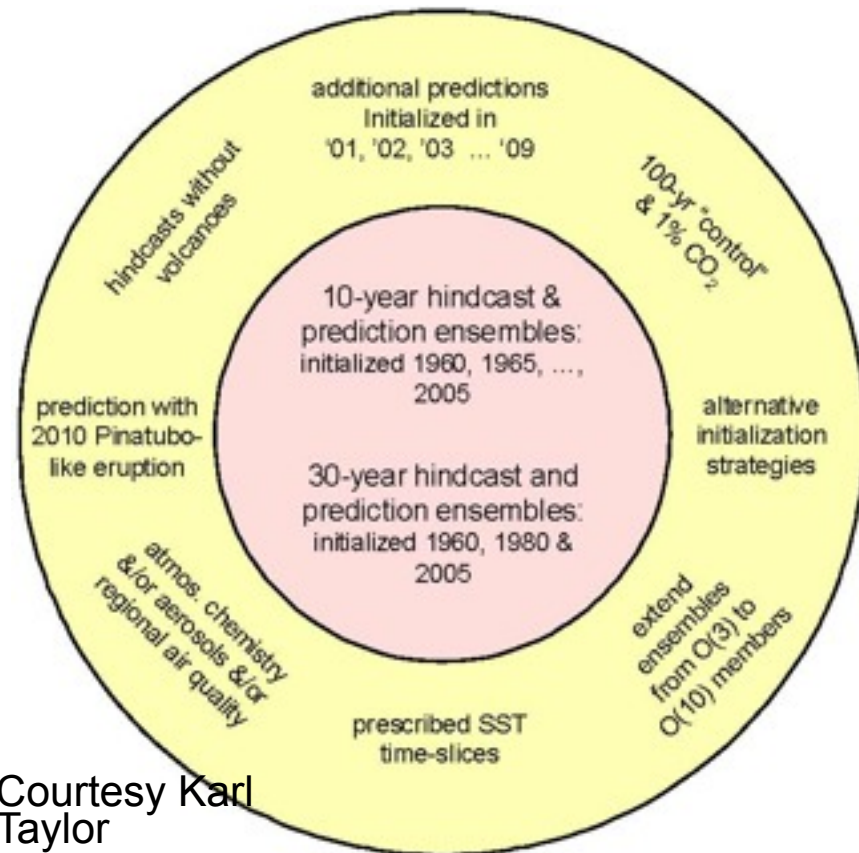


Diagnostique: max MOC Atlantique

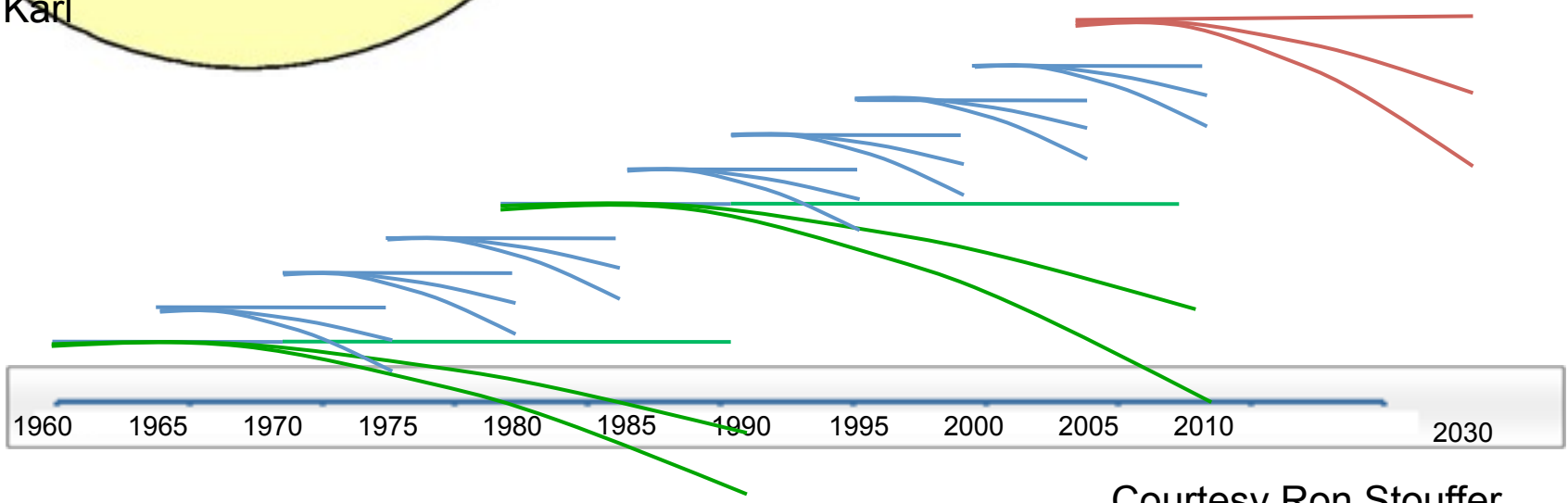


Prévisibilité de 4-5 ans

Expériences CMIP5 de prévisibilité décennale du climat

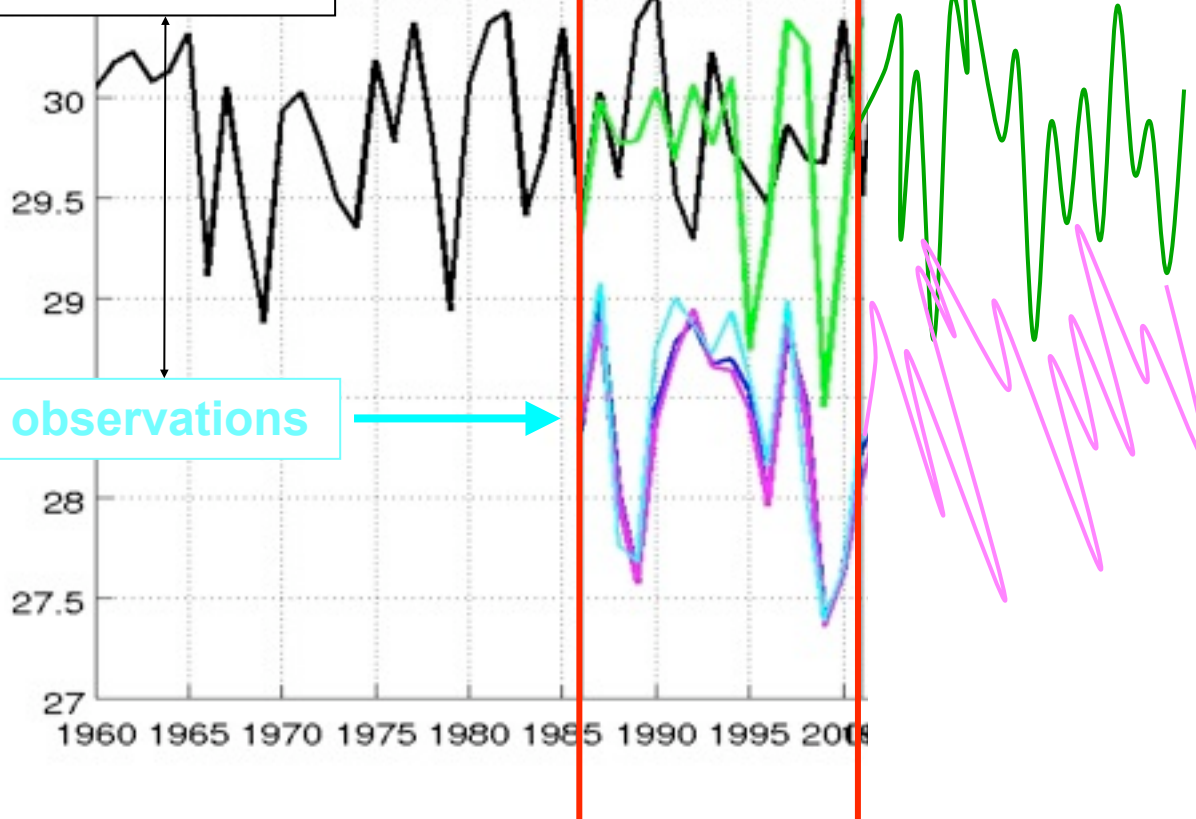


~12 groupes vont contribuer



Le problème de l'initialisation

Variabilité naturelle du modèle



observations

Q1: FULL vs. ANOM ?

Initialisation ANOM:

Pas de dérive mais état moyen non-conforme aux obs.

Initialisation FULL:

Dérive mais état moyen observé au départ

Se caler sur la variabilité observée, mais sans s'éloigner trop du monde du modèle pour pouvoir envisager une prévision

Q2: Guidage en surface vs. 3D océanique ?

Initialisation strategy at IPSL for decadal hindcasts



- Surface nudging only
 - explore different strategies of surface nudging
- Less “intrusive” for ocean dynamics
- Benefit from Drakkar / NEMO forced OGCM experience

The coupled model: IPSL-CM5

- Current tests: 96x95 L39 + ORCA2
- Other target: 144x142 L39 + ORCA2

Constraints and time scales

Region	Variables	Timescales
Tropics	SST, wind key in initial shock	Quick adjustment (5y)
Mid-latitudes	SST, mean wind for circulation, thermohaline processes (3D T,S ?)	Slow adjustment (decades)
Sea-ice regions	Coherence of nudging fields, S	Quick adjustment, slow impacts

The hard question:

Forced
oceanic
model

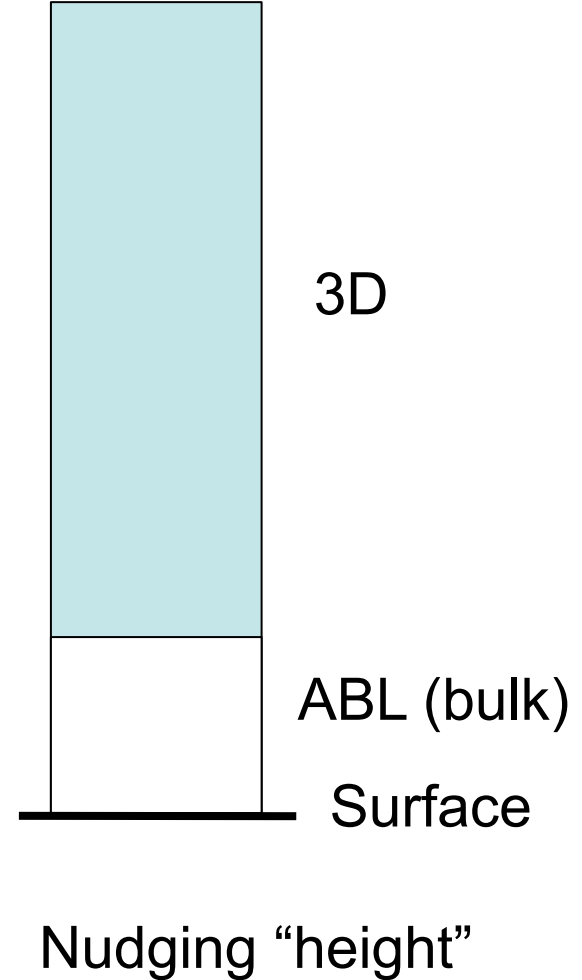
Free
coupled
model



Where should the cursor be placed?

Surface nudging

- Heat
 - method: $\gamma(T-T^*)$ or bulk
 - full field or anomaly
 - γ : value, constant in space or not
- Momentum
 - method: apply τ_x / τ_Y obs or bulk or 3D?
 - full field or anomaly
 - where ? (avoid tropical shock)
- Fresh water
 - method: $\gamma(S-S^*)$, P obs, E bulk,...
 - full field or anomaly



Développements nécessaires

(INCAS LOCEAN, Sonia)

modIPSL:

- Gestion simulations d'ensembles
- Génération d'états initiaux (bruit blanc)
- Execution au CCRT:
 - SX9 (simulations guidées pour états initiaux)
 - titane pour ensembles (3 membres x 10 dates CMIP5 = 1 semaine)
- Gestion suivi et relance (runs et postpro pour 30+ simulations par qsub !)

NEMO:

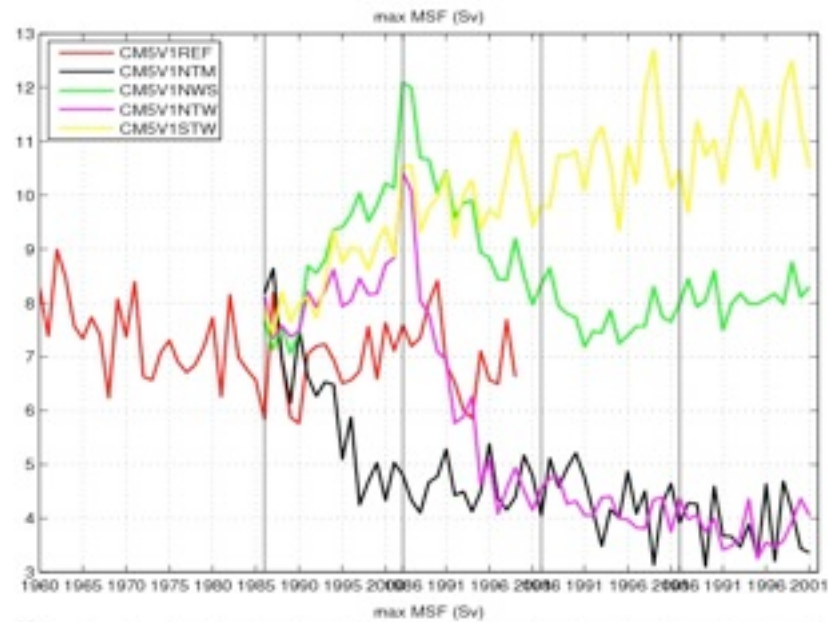
- système de guidage (SST, vent, SSS)
- option $\text{Flux}_{\text{nudged}} = (1 - \alpha) \text{Flux}_{\text{bulk}} + \alpha \text{Flux}_{\text{AGCM}}$

Quelques tests sur la méthode d'initialisation

Diagnostique: max MOC Atlantique

Full

REF



$$\gamma(T-T_{\text{obs}}) + \text{vent} + \gamma_s (S-S_{\text{obsclim}})$$

vent

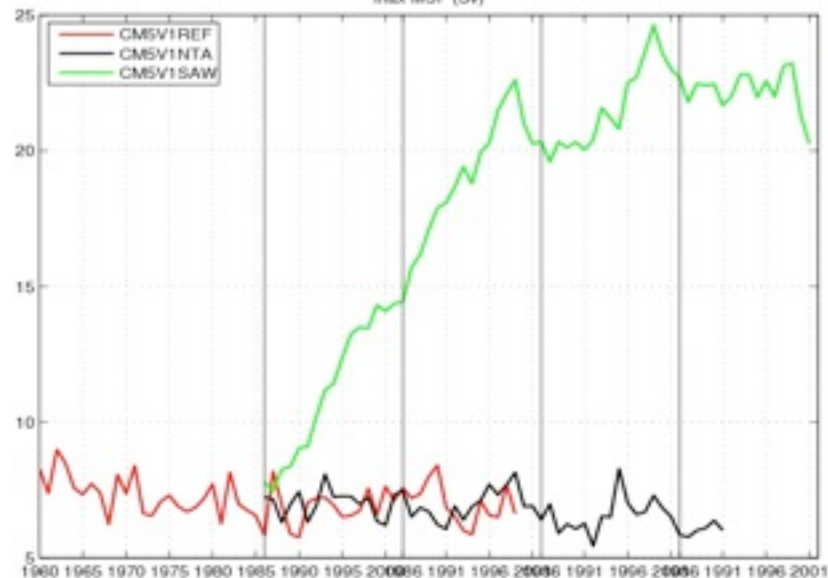
$$\gamma(T-T_{\text{obs}}) + \text{vent}$$

$$\gamma(T-T_{\text{obs}})$$

$$\gamma = 40 \text{ W m}^{-2}/\text{K}$$

Anom

REF

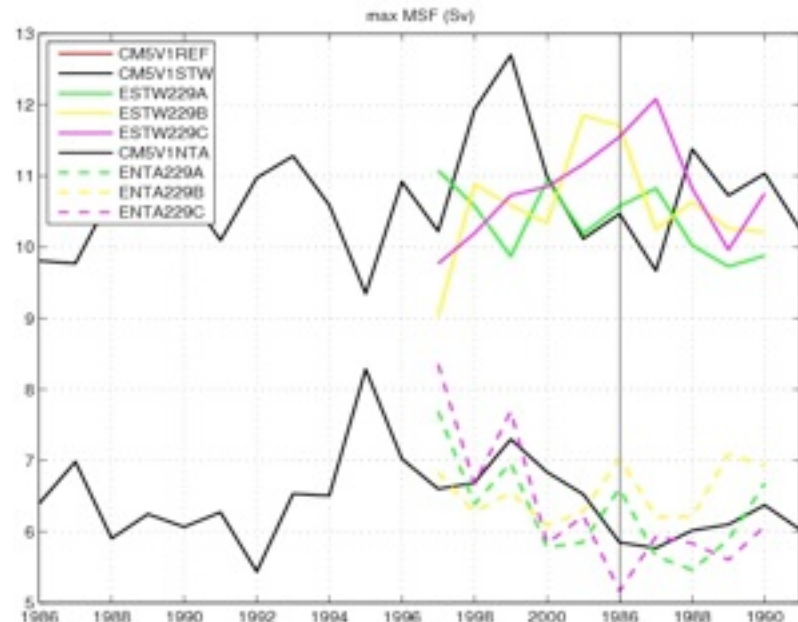


$$\gamma(T'-T'_{\text{obs}}) + \text{vent} + \gamma_s (S-S_{\text{obsclim}})$$

$$\gamma (T'-T'_{\text{obs}})$$

Quelques tests de « lâchers » (3 membres sur 10 ans)

Diagnostique: max MOC Atlantique

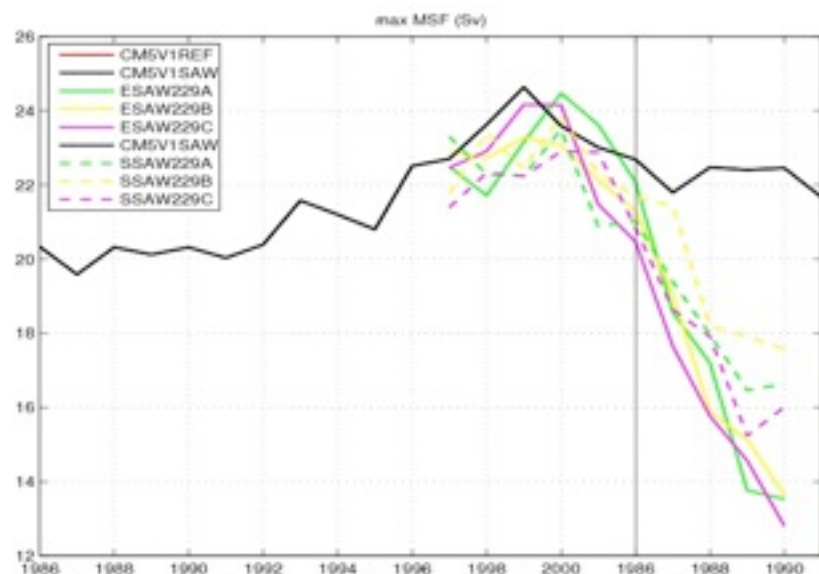


$$\gamma (T - T_{obs}) + \text{vent} + \gamma_s (S - S_{obsclim})$$

Full

$$\gamma (T' - T'_{obs})$$

Anom SST



$$\gamma (T' - T'_{obs}) + \text{vent} + \gamma_s (S - S_{obsclim})$$

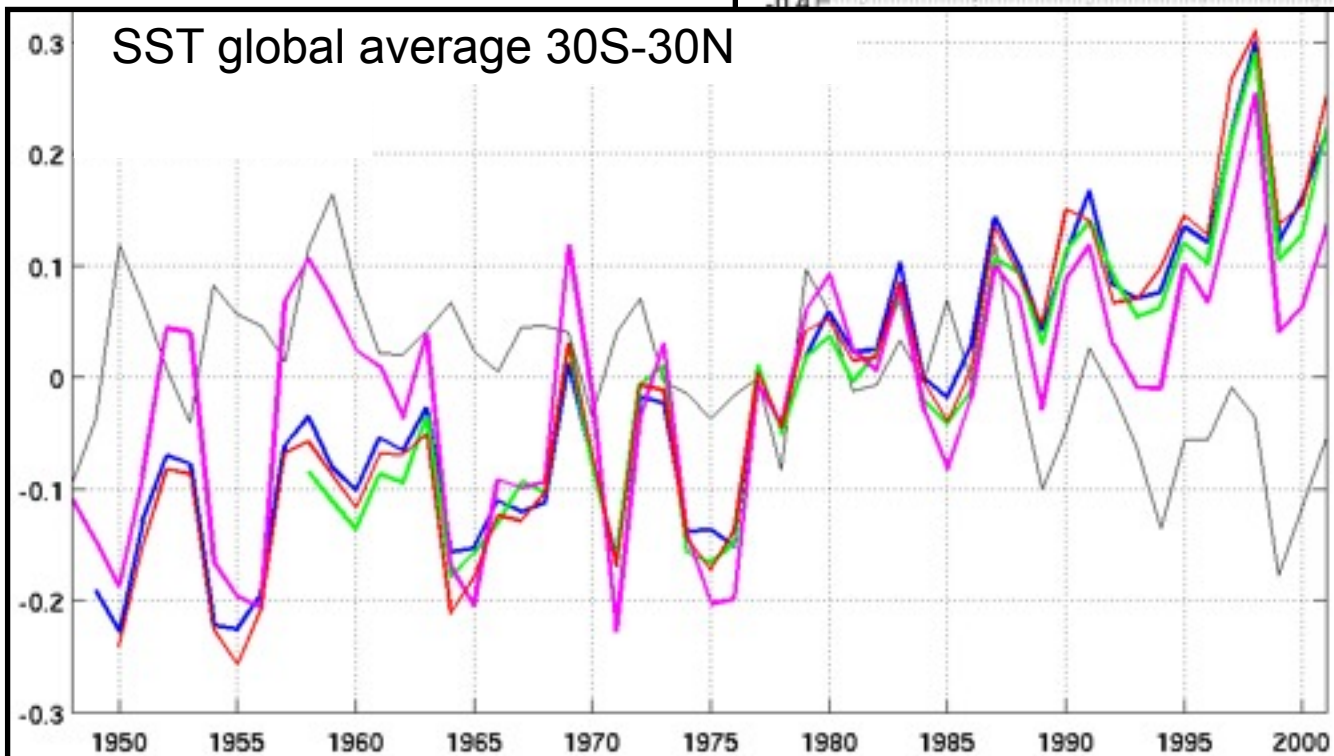
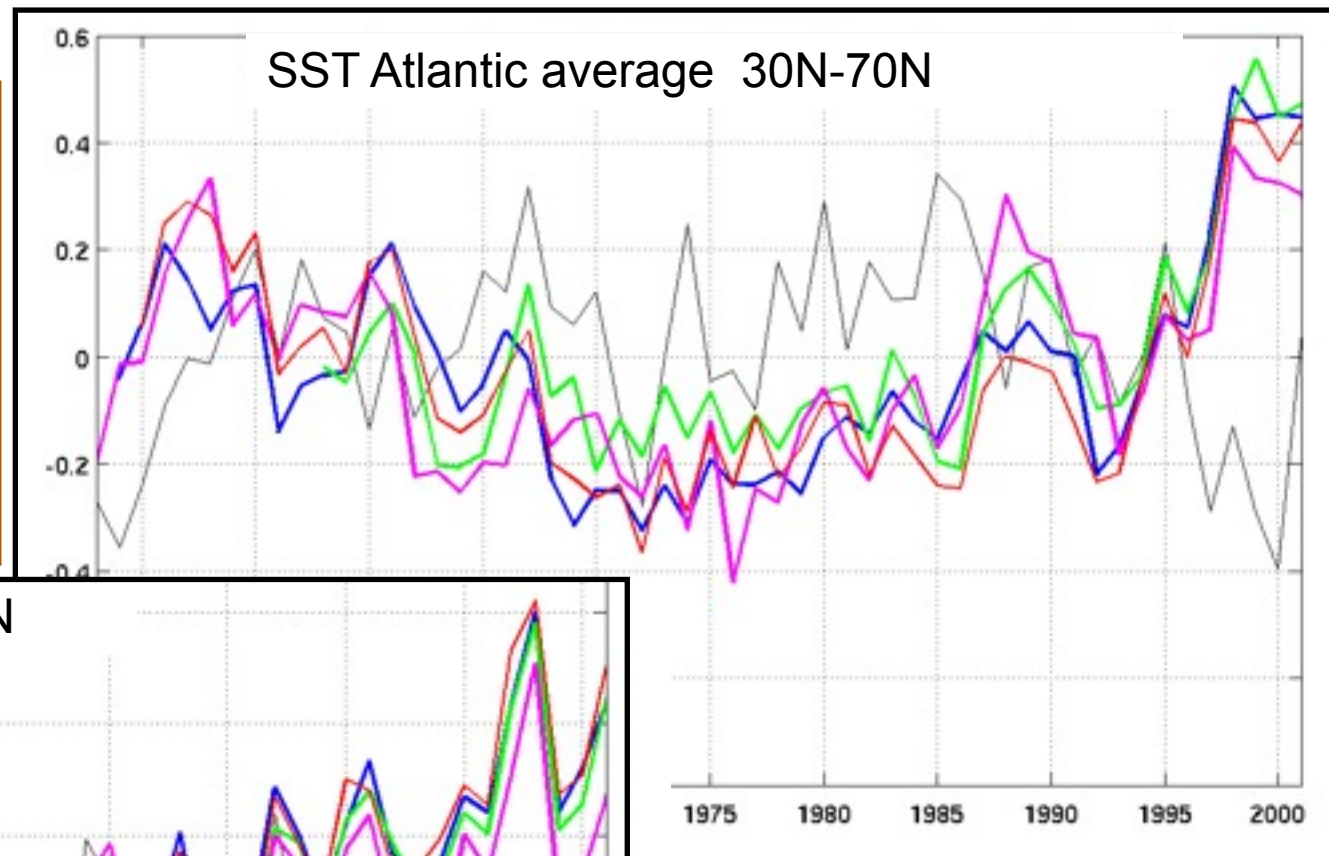
Anom SST + vent + SSS

Initialisation par les anomalies de SST 1958-2004

Daily Reynolds SKT anomalies up to lat(60)

Monthly Reynolds SST anomalies

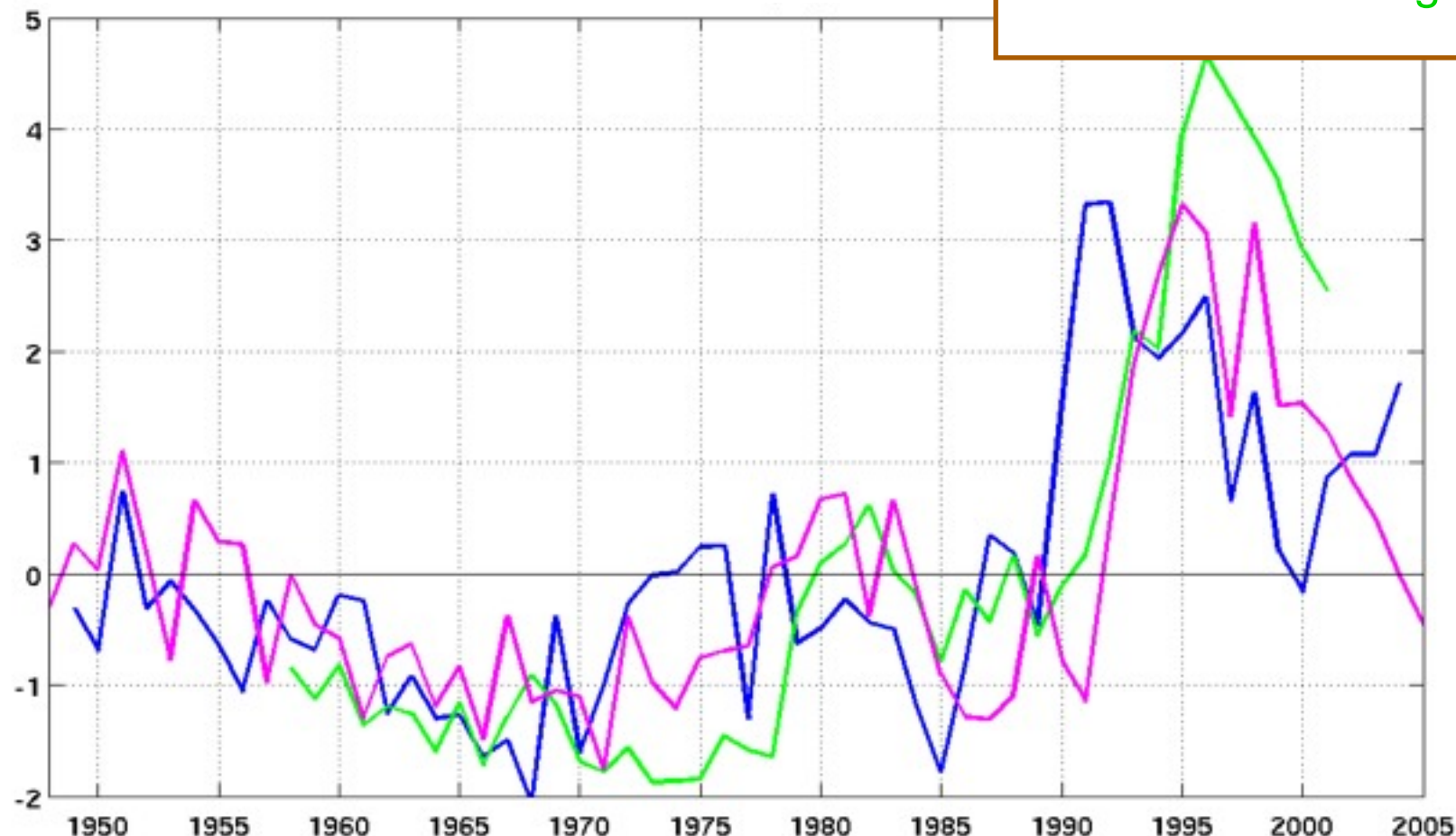
Monthly Reynolds SST anomalies + wind stress forcing



Control simulation
Reynolds SST

Initialisation par les anomalies de SST 1958-2004

Anomalous max (Atlantic MOC) (Sv)



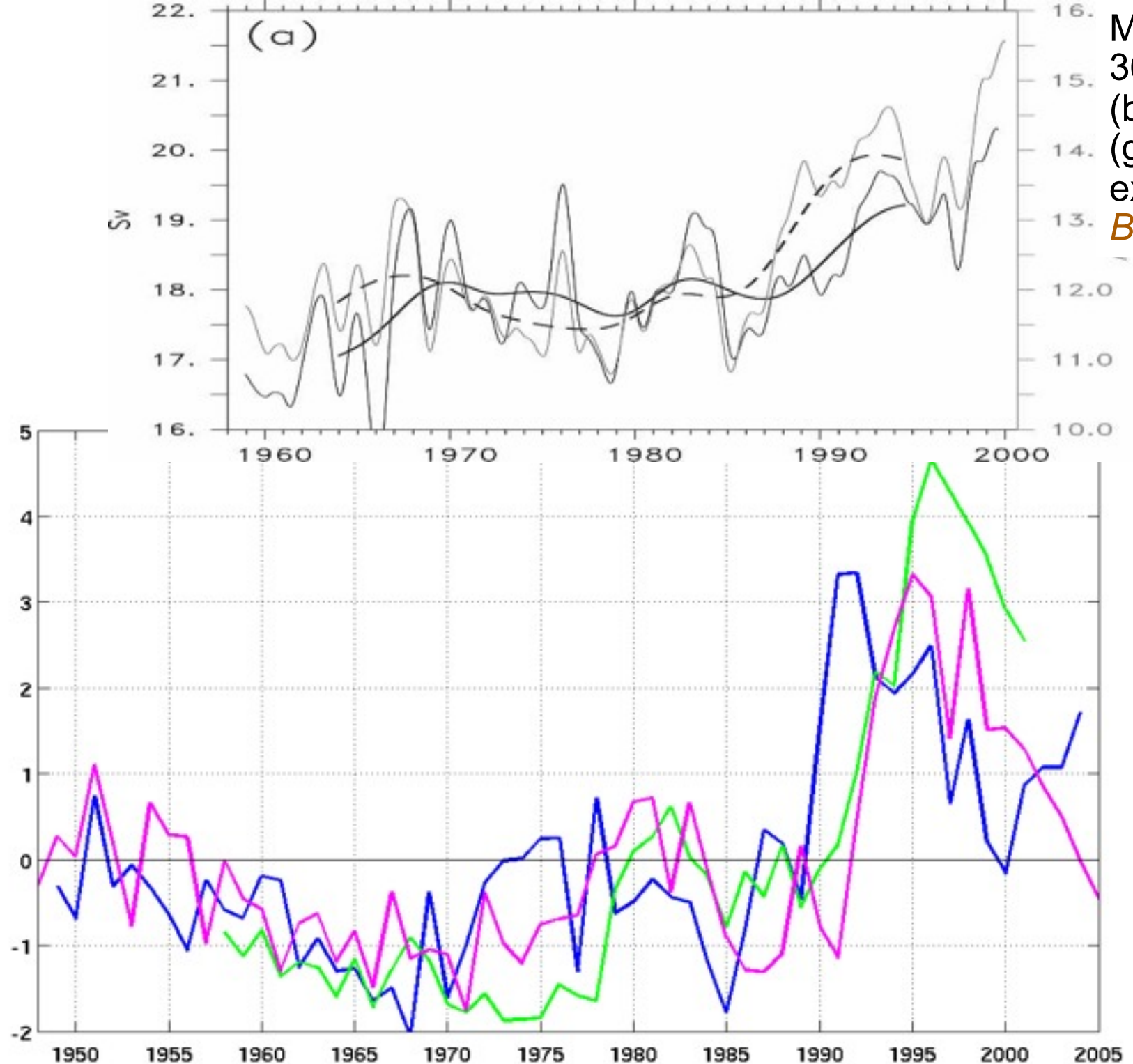
Daily Reynolds SKT anomalies up to lat(60)

Monthly Reynolds SST anomalies

Monthly Reynolds SST anomalies + wind stress forcing

MOC strength at
36°N in FLAME
(black) and ORCA
(gray) reference
experiments

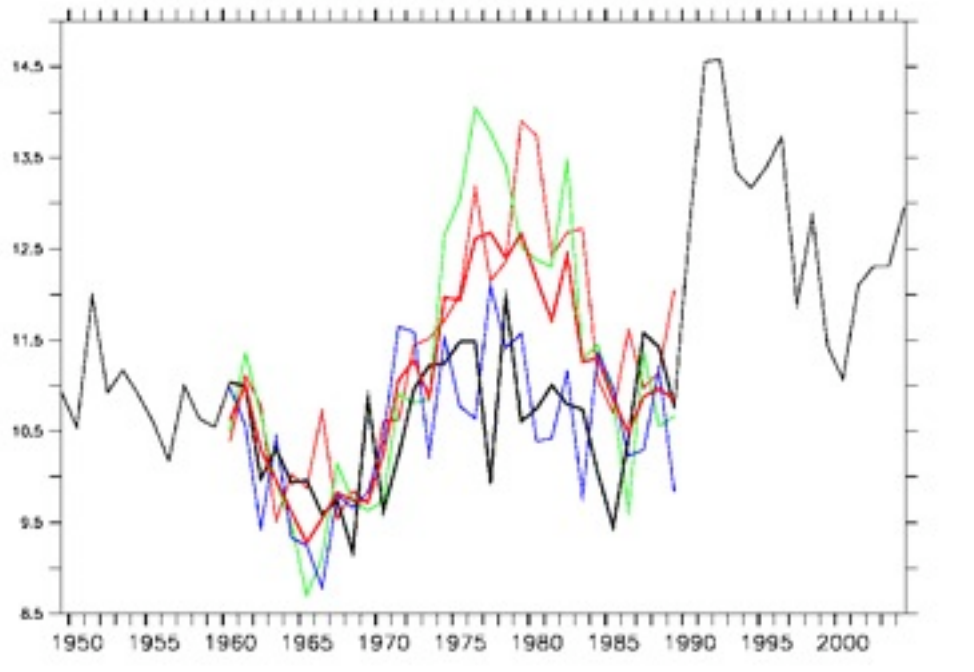
Biastoch et al. 2008



Premiers tests de prévisibilité

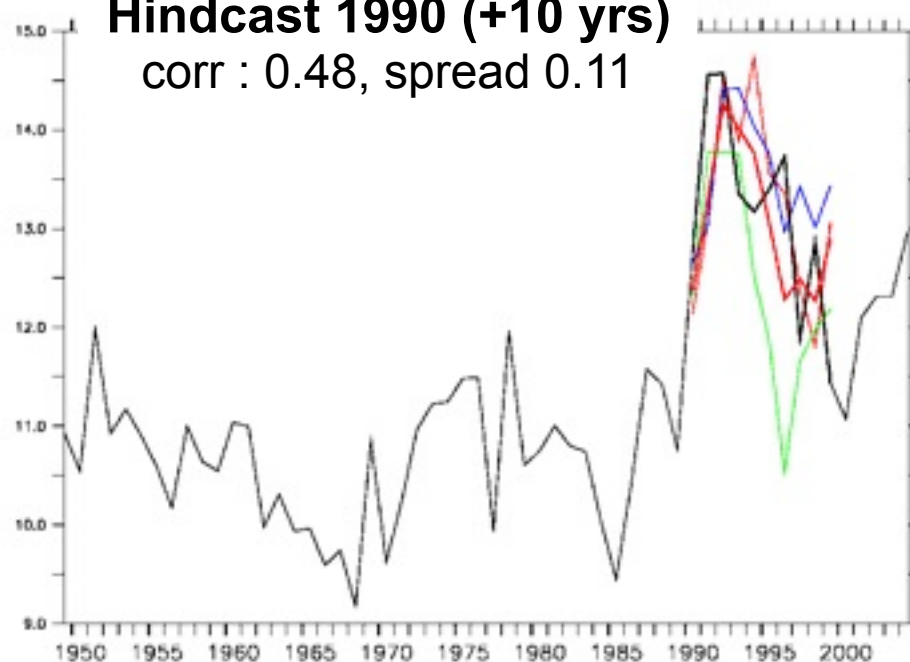
Hindcast 1960 (+30 yrs)

corr : 0.46, spread 0.77



Hindcast 1990 (+10 yrs)

corr : 0.48, spread 0.11

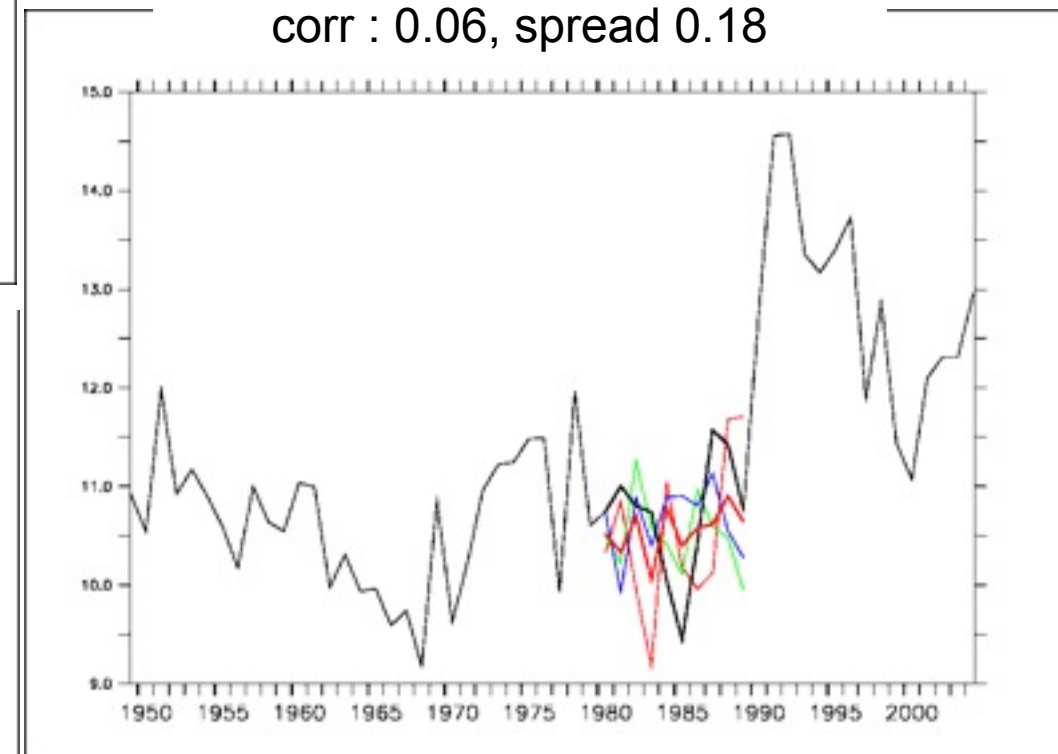


Monthly Reynolds SST anomalies

Max (Atlantic MOC) (Sv)

Hindcast 1980 (+10 yrs)

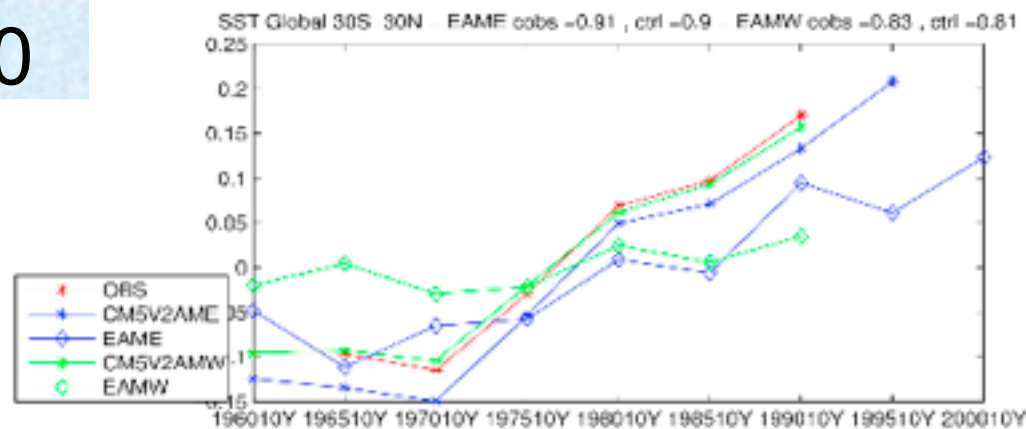
corr : 0.06, spread 0.18



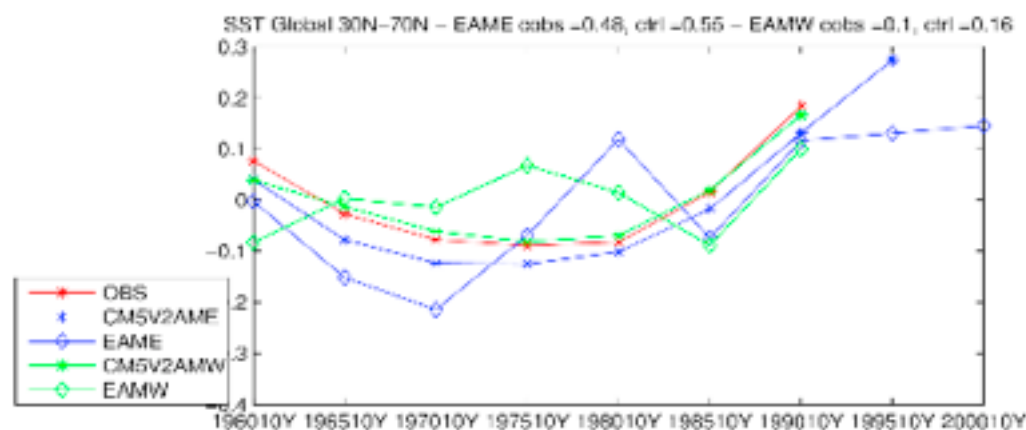
Scores de prévisibilité décennale 1960-2000

Exercice complet CMIP5

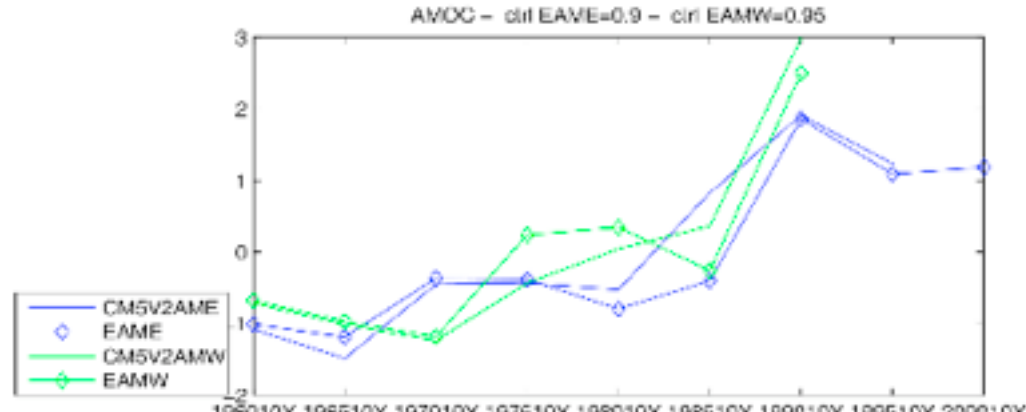
SST 30S/30N
corr=0.91 (SSTA)
corr=0.83 (SSTA+vent)



SST 30N/70N
corr=0.48 (SSTA)
corr=0.1 (SSTA+vent)



THC index
corr=0.9 (SSTA)
corr=0.95 (SSTA+vent)



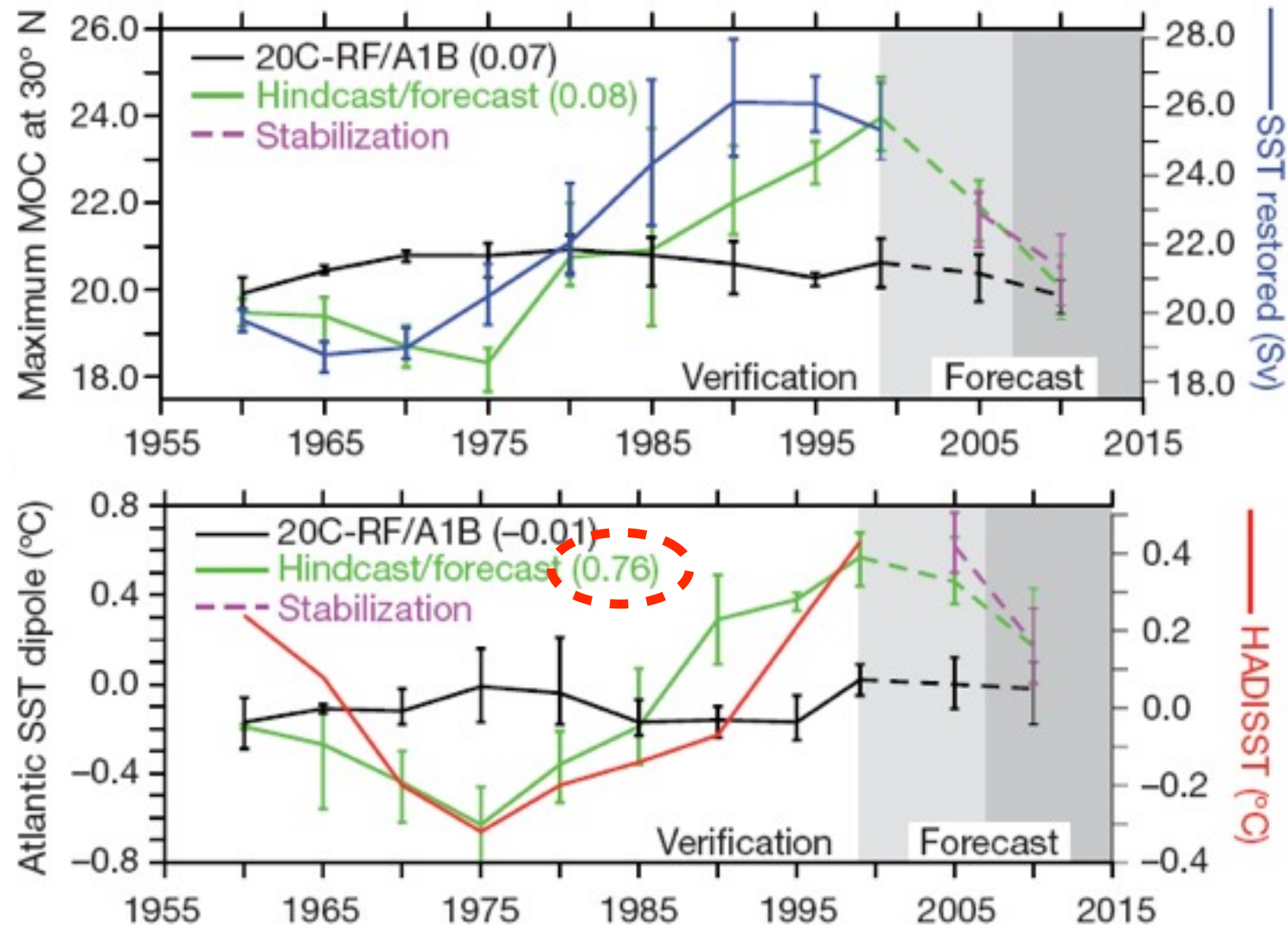
Un exemple d'exercice de prévision décennale

ECHAM5/MPI-OM

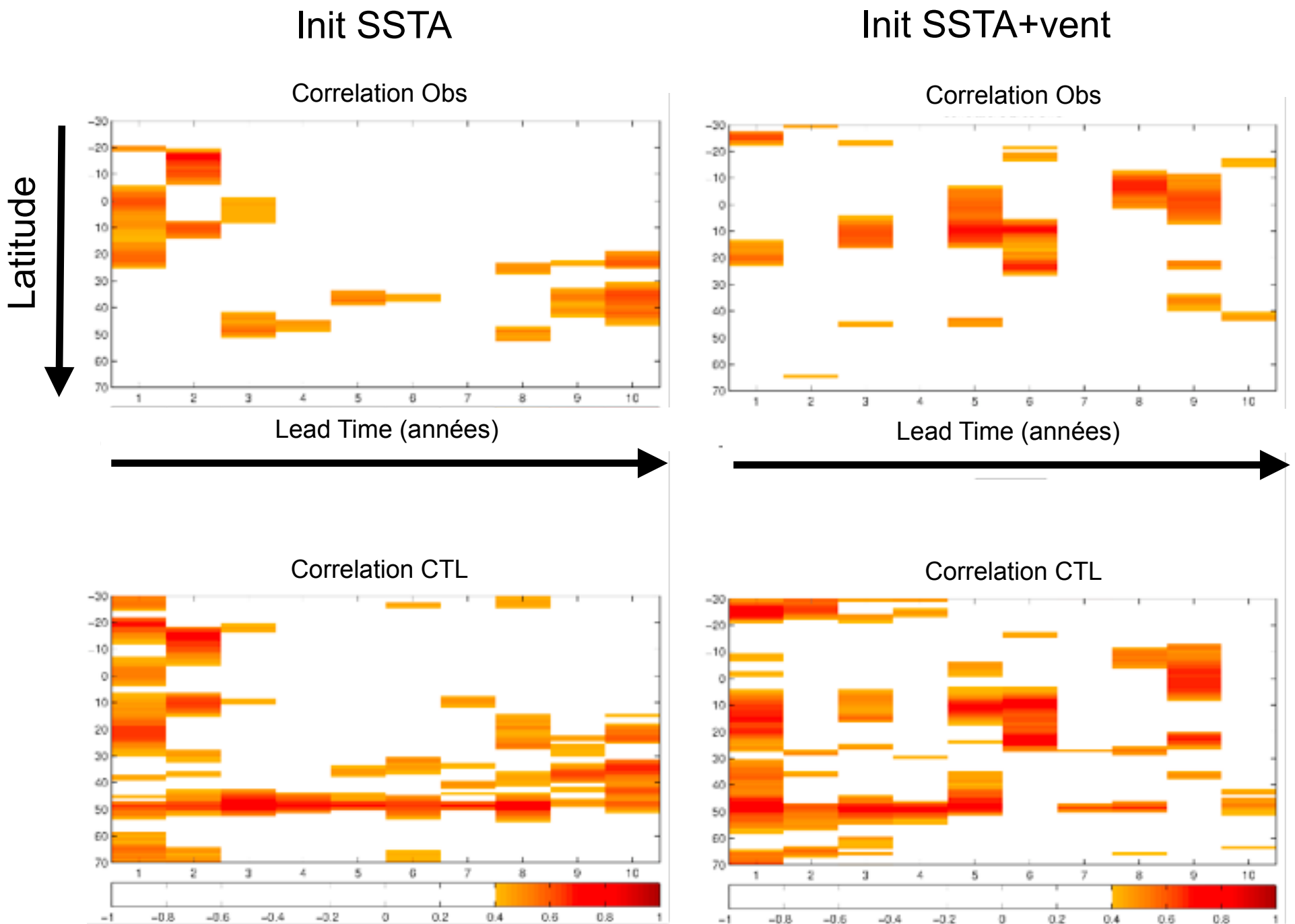
Keenlyside et al. 2008



Les variations basse fréquence de la circulation océanique et la structure de SST associée sont mieux représentées dans une simulation initialisée



Score SST en fonction de la latitude et du lead time



Résumé

- Initialisation:
 - Nombreux tests en nudgé de surface (SST, vent, SSS, anomalies vs. full)
 - Meilleurs scores: nudgé en anomalies de SST
 - Encore des choses à comprendre
- Hindcasts (“lâchers”):
 - Premiers tests encourageants (même si en piControl)
 - Le modèle IPSL-CM5 a de la prévisibilité décennale (THC ++, SST -)
- Equipe qui s'étoffe:
 - 4 permanents
 - un projet GICC: EPIDOM (+ Cerfacs/MF, cadre MISSTERRE et **2 ans de postdoc**)
 - contributions EU FP7 Combine + CMIP5
 - thèse à venir

PUB !

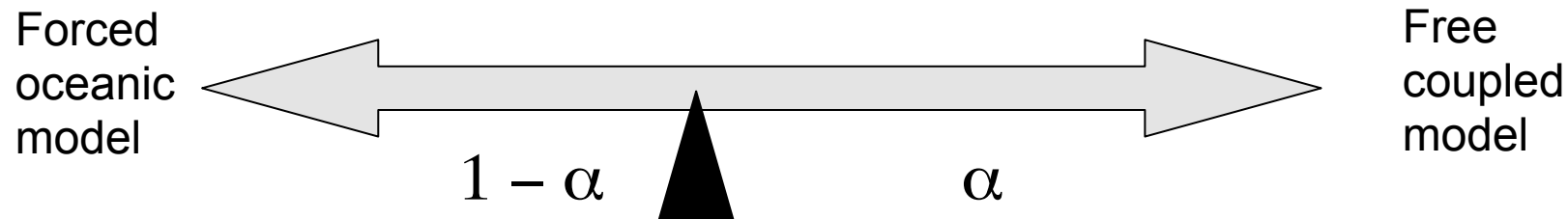
Prochaines étapes

- Initialisation:
 - Utilisation des bulks (tests en cours) $\text{Flux}_{\text{nudged}} = (1 - \alpha) \text{Flux}_{\text{bulk}} + \alpha \text{Flux}_{\text{AGCM}}$
 - Comparaison avec autres méthodes (3D, ...)
- Hindcasts (“lâchers”):
 - Simulations avec forçages 20^{ème}
 - Génération d'ensemble (bruit blanc -> perturbations optimales)
 - set CMIP5 (+ haute resolution ?)
- Mécanismes physiques de la prévisibilité
 - Modèle parfait, rôle initialisation, forçage externe vs. variabilité interne,...
 - Post doc EPIDOM (automne 2010) **PUB !**

Nudging via CORE-type bulk formulae

$$\text{Flux}_{\text{bulk}} = F(T_s, \theta_a, q_{air}, \Delta U_{10})$$

T_s vs. large scale atmospheric variables



$$\text{Flux}_{\text{nudged}} = (1 - \alpha) \text{Flux}_{\text{bulk}} + \alpha \text{ Flux}_{\text{AGCM}}$$

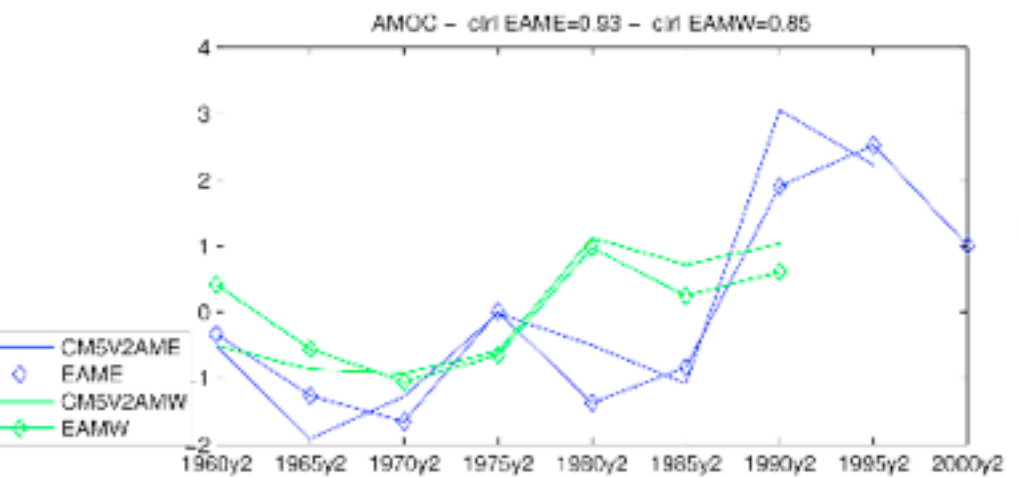
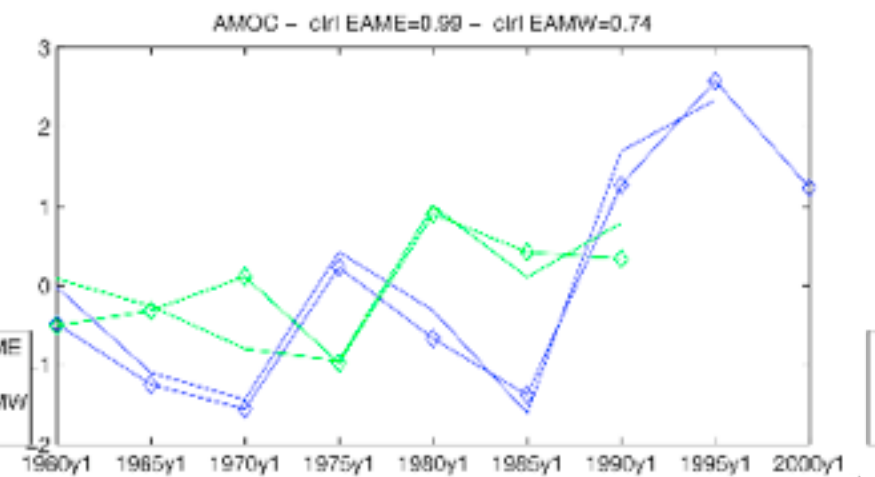
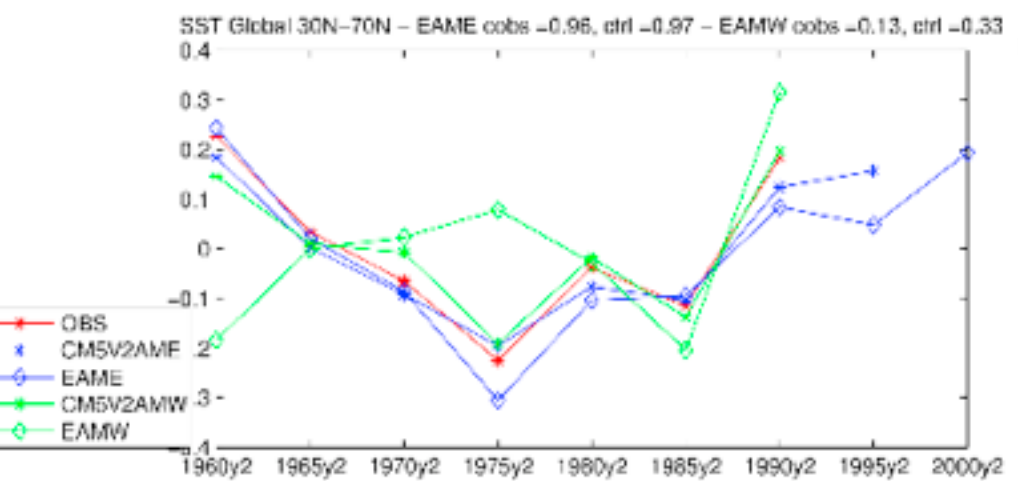
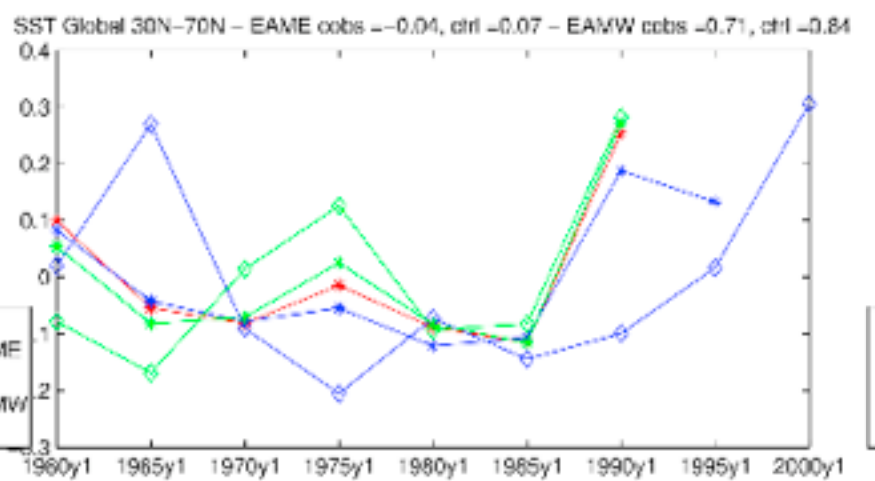
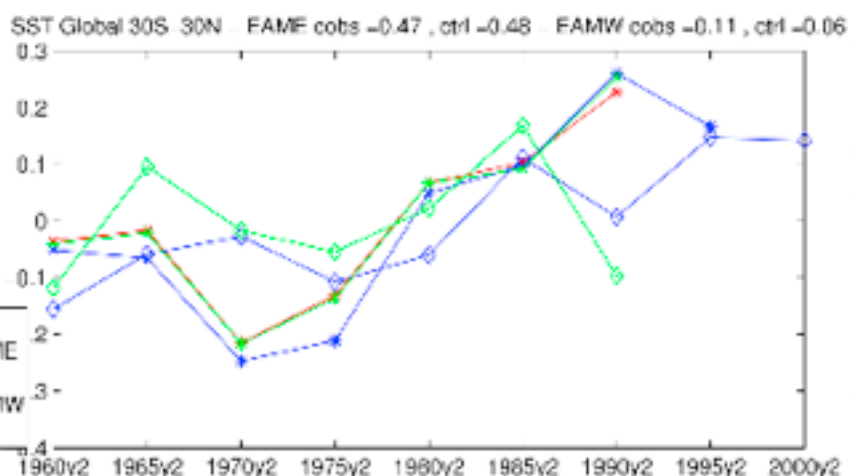
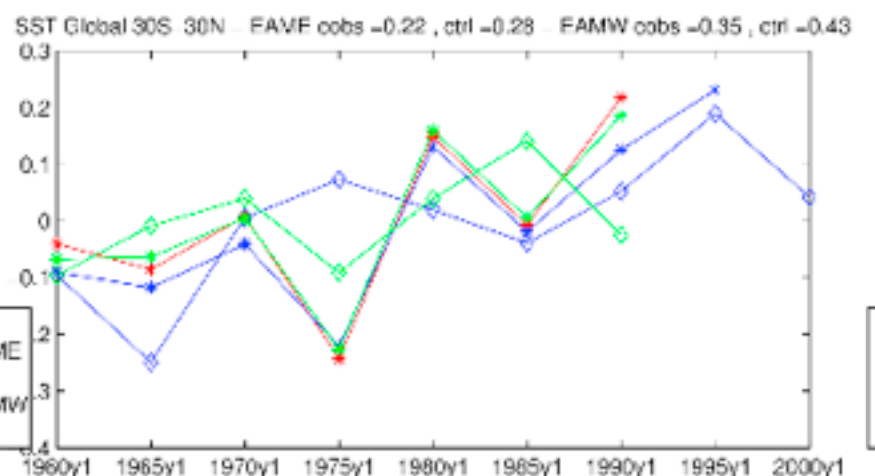
$$\text{Flux}_{\text{nudged}} = F[(1 - \alpha) T_s^{\text{obs}} + \alpha T_s^{\text{AGCM}}, (1 - \alpha) \theta_a^{\text{obs}} + \alpha \theta_a^{\text{AGCM}}, \dots]$$

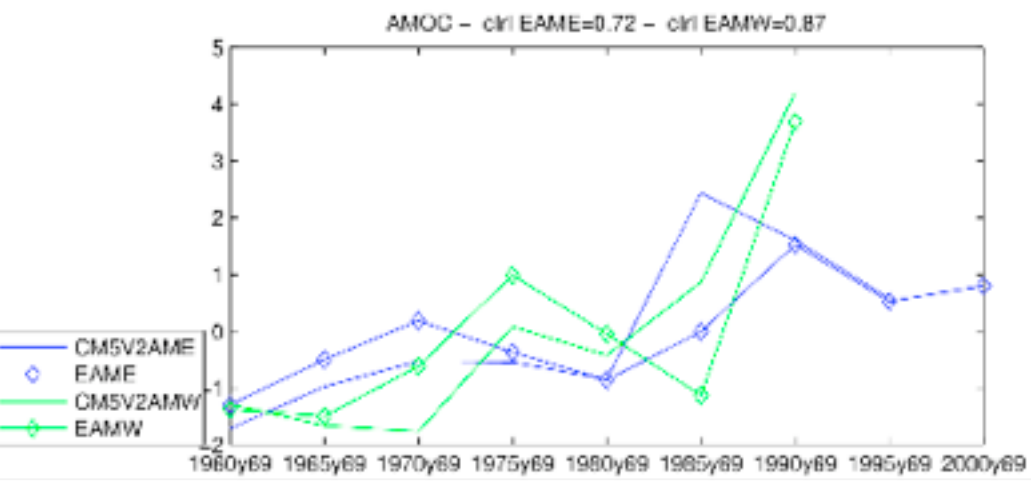
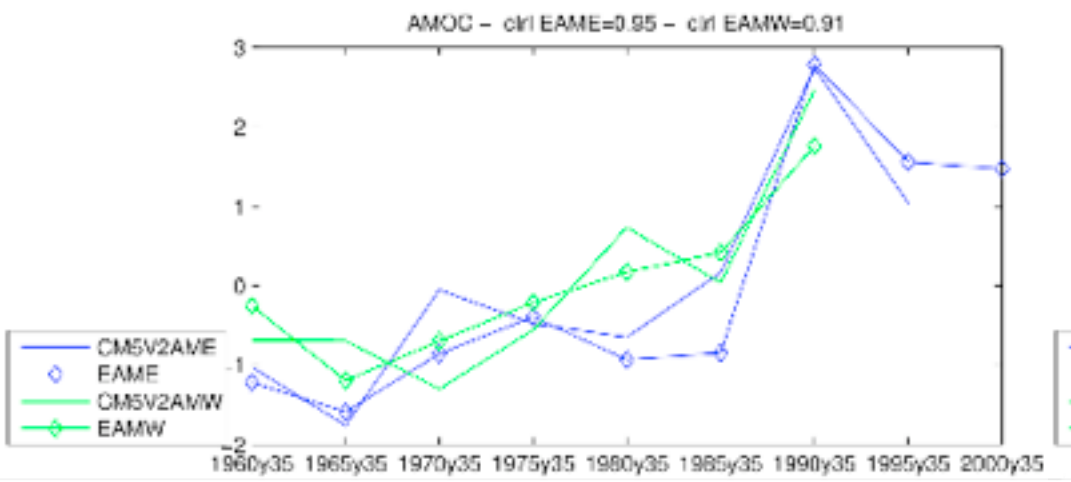
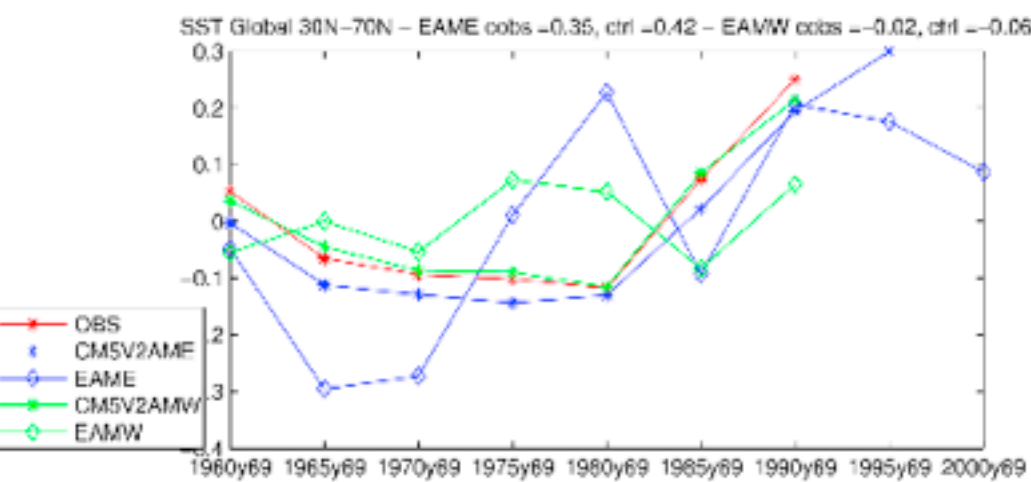
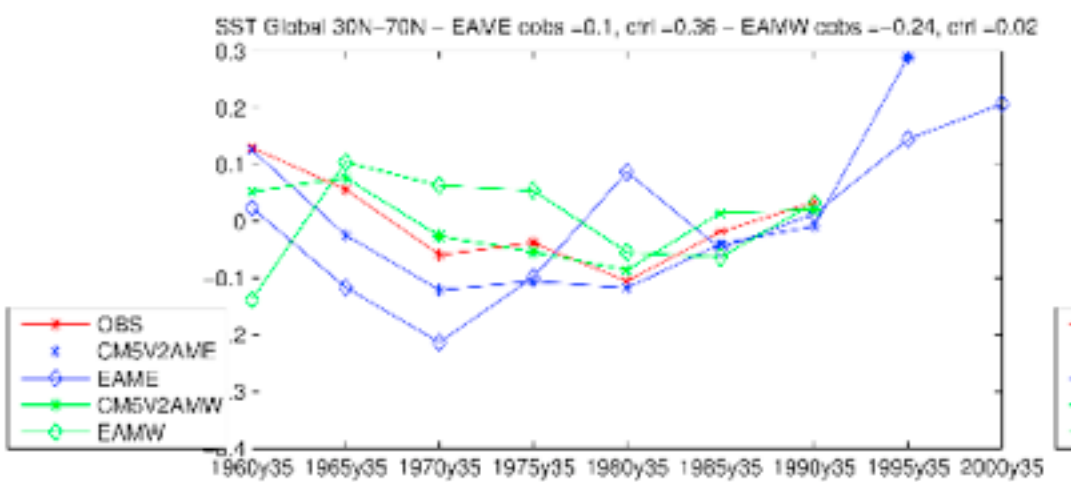
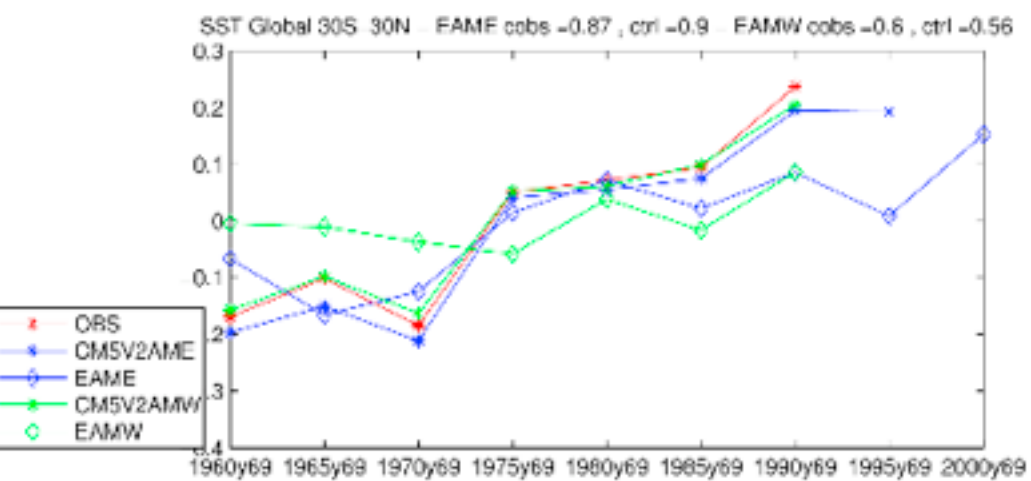
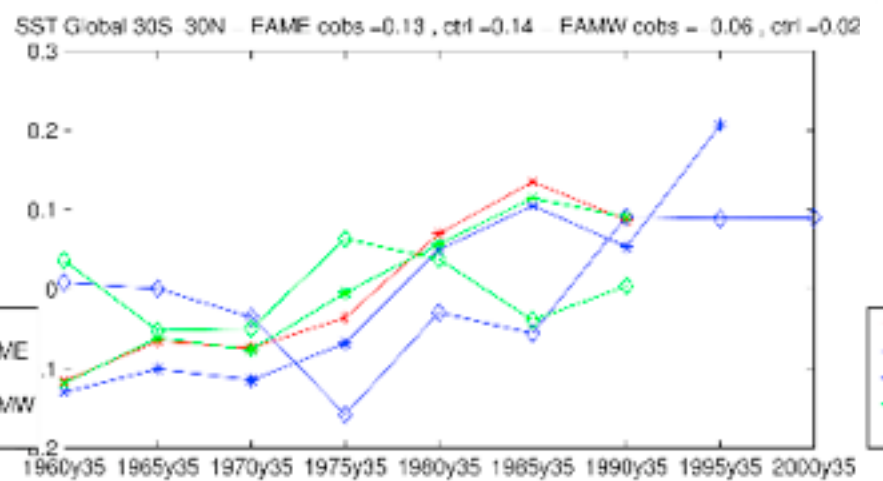
$$\text{Flux}_{\text{nudged}} = F[(1 - \alpha) T_s^{\text{obs}} + \alpha T_s^{\text{AGCM}}, \theta_a^{\text{AGCM}}, q_{air}^{\text{AGCM}}, \Delta U_{10}^{\text{AGCM}}]$$

Questions:

- Which method ?
- How to define α ?
- Sea-ice regions ?

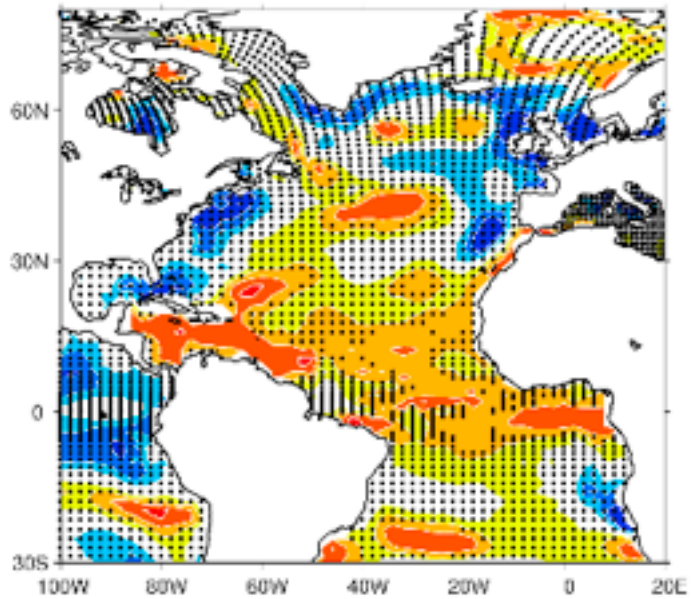
"Choice depends on objective" (best prediction or science)





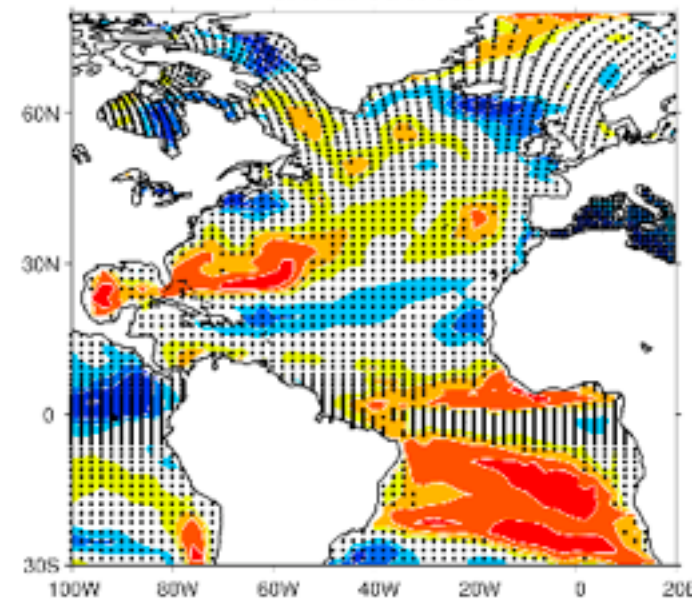
EAME - yr1

Correlations avec OBS

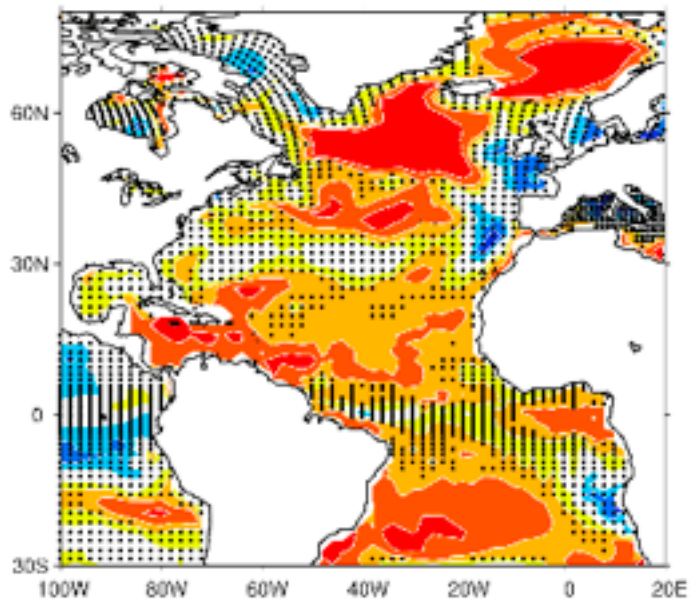


EAME - yr2

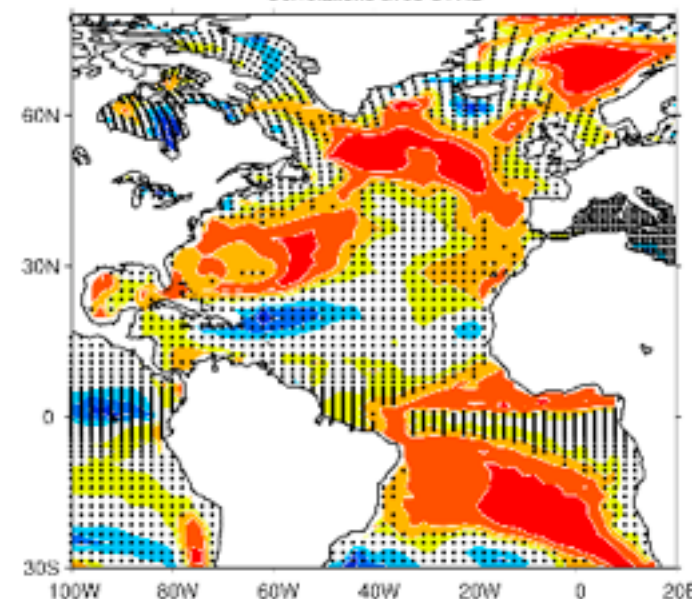
Correlations avec OBS



Correlations avec CTRL

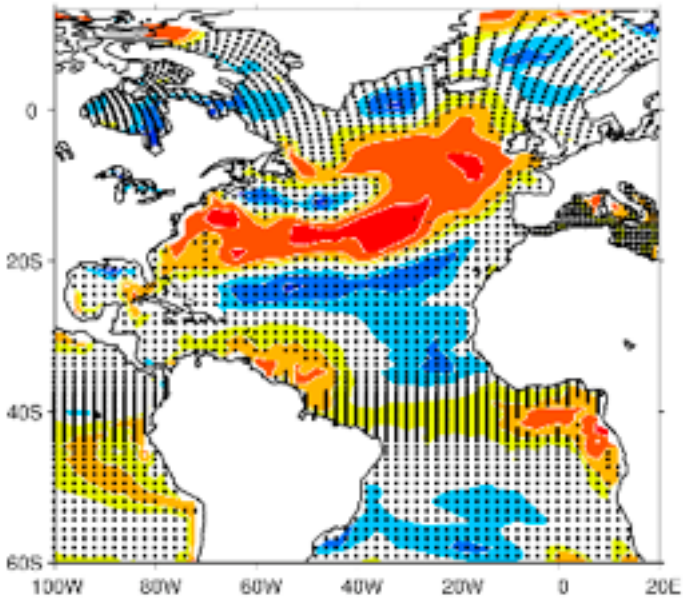


Correlations avec CTRL



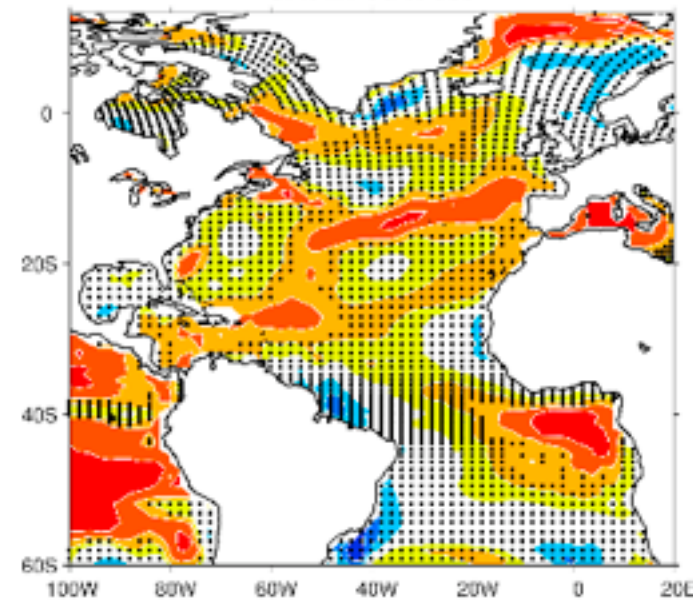
EAME - yr35

Correlations avec OBS

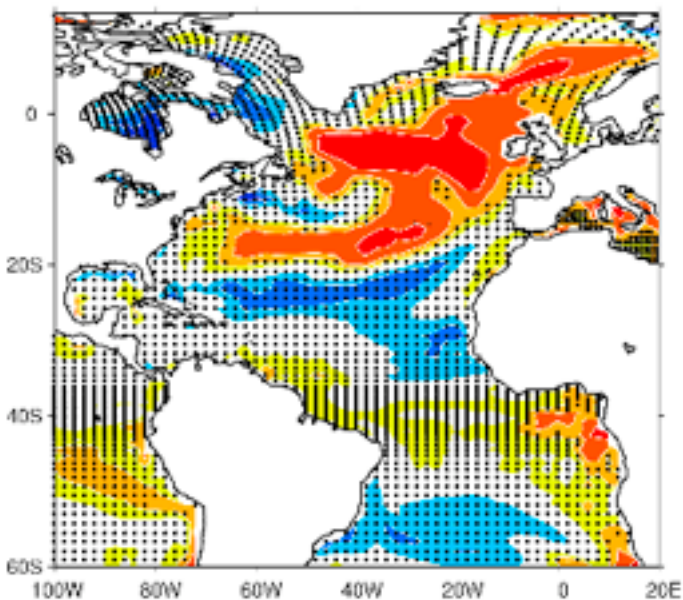


EAME - yr69

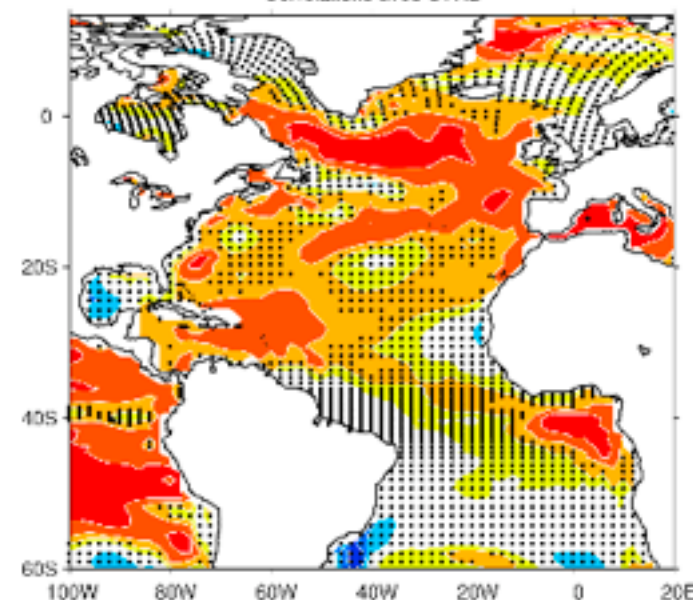
Correlations avec OBS



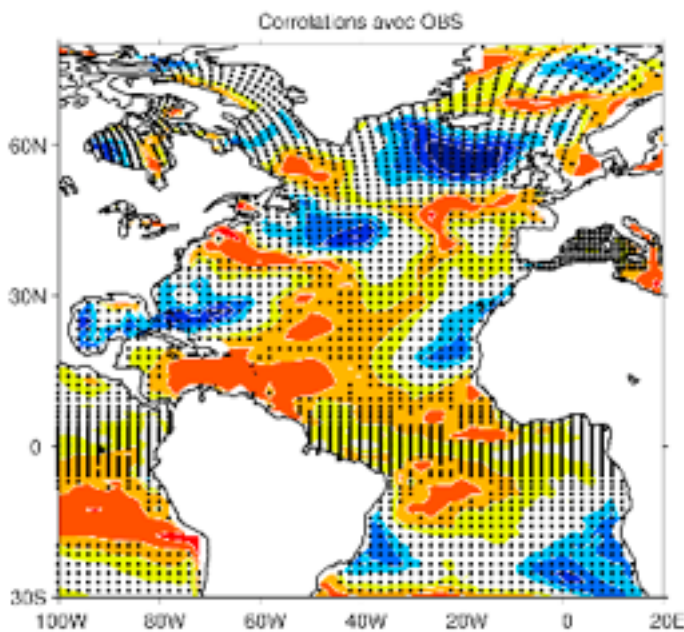
Correlations avec CTRL



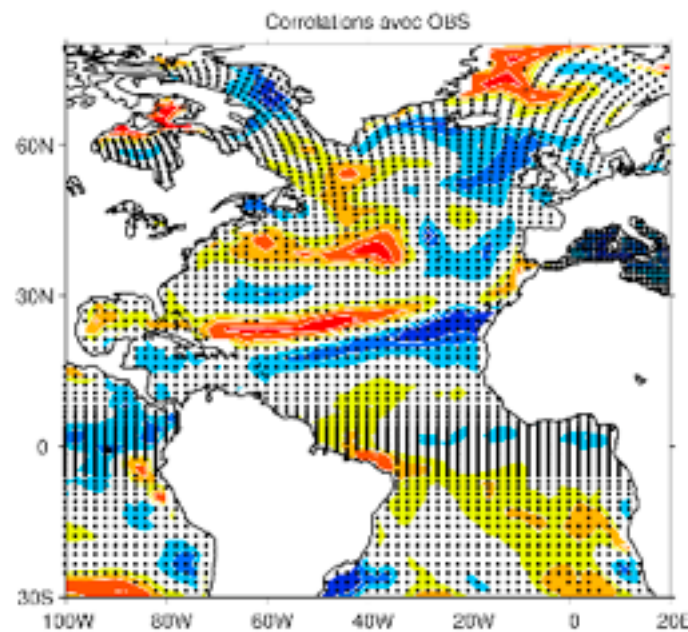
Correlations avec CTRL



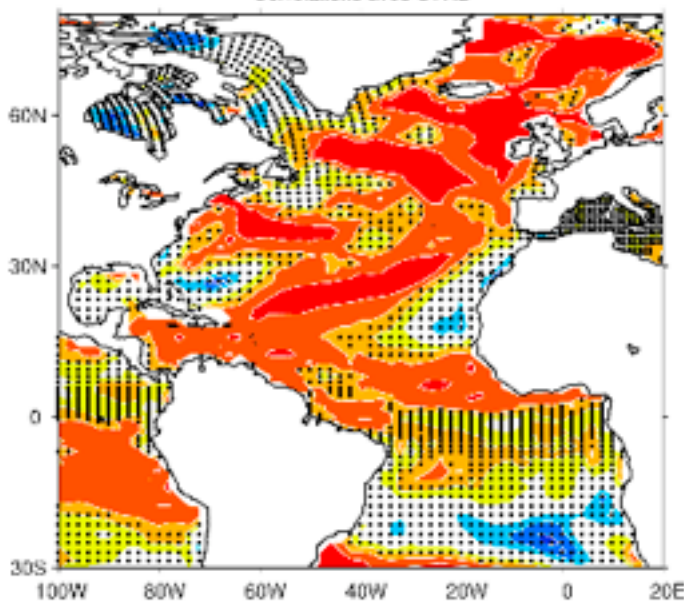
EAMW - yr1



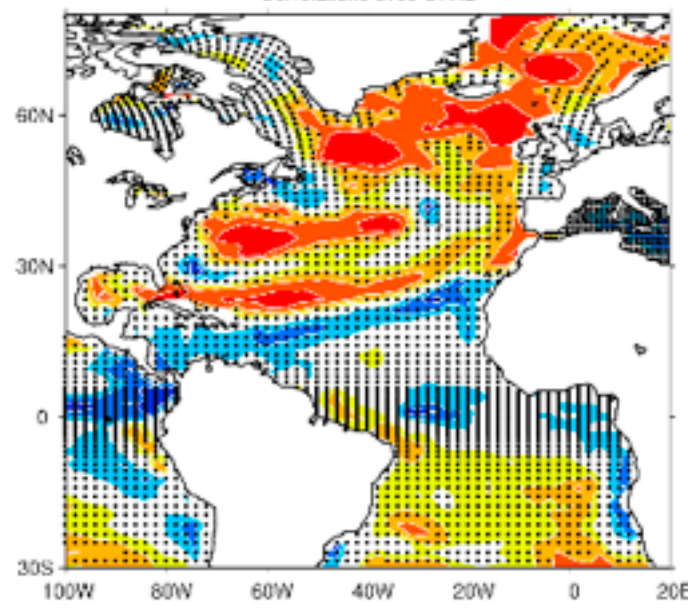
EAMW - yr2



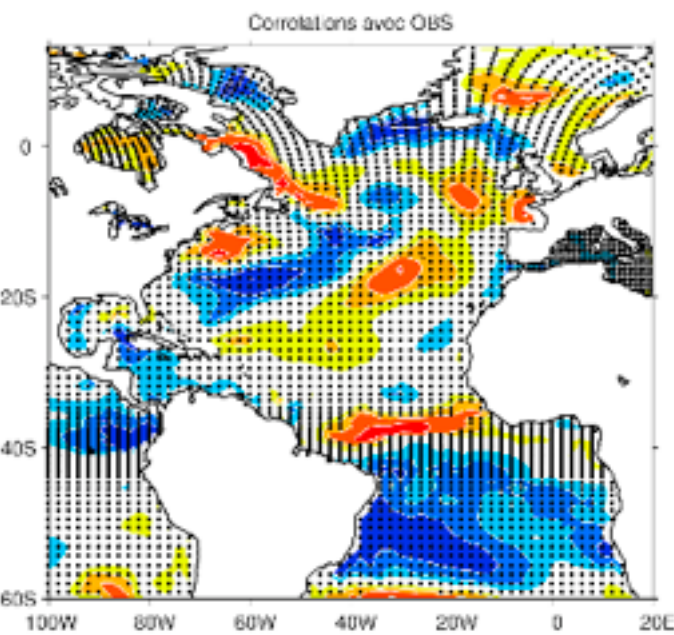
Correlations avec CTRL



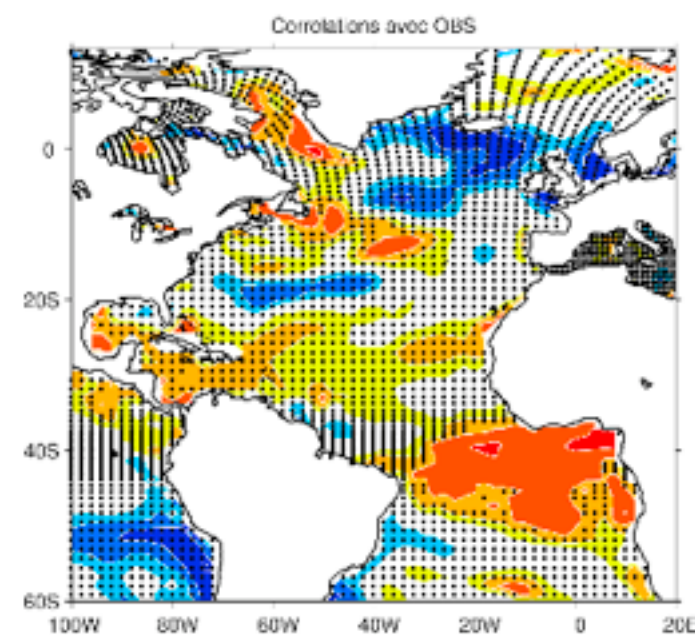
Correlations avec CTRL



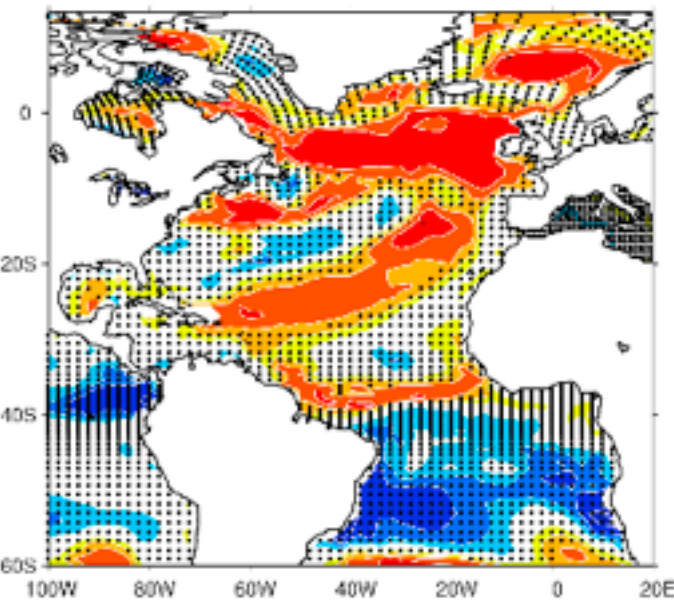
EAMW – yr35



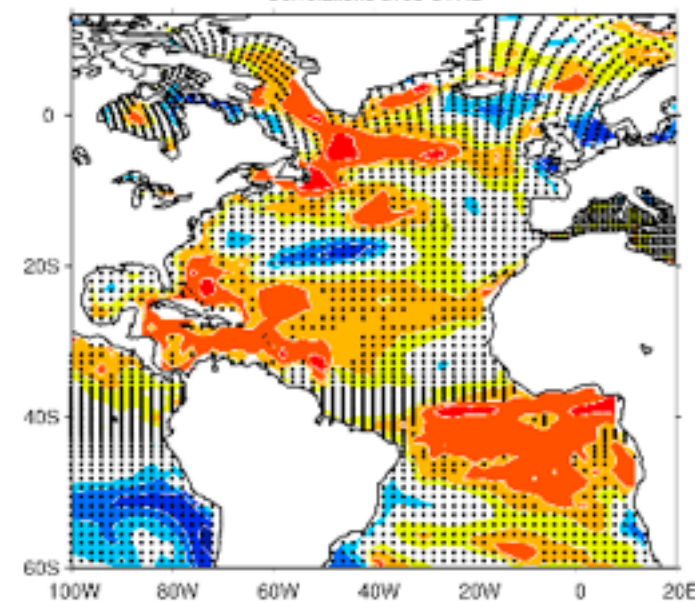
EAMW – yr69



Correlations avec CTRL

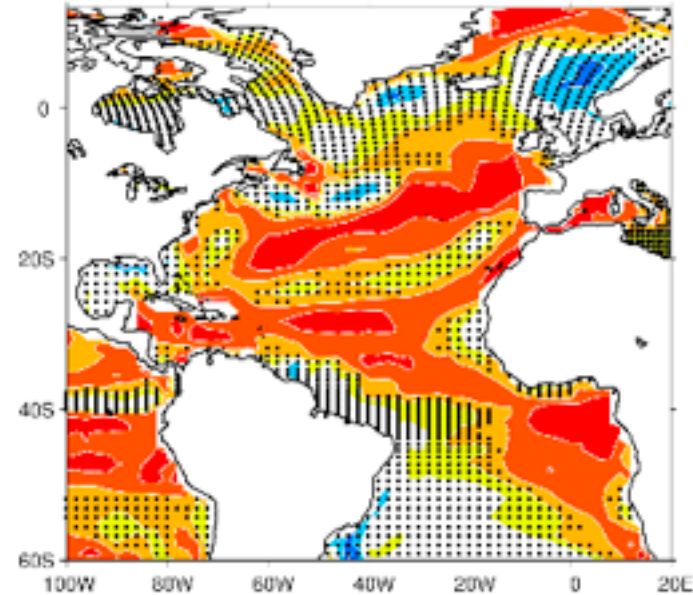


Correlations avec CTRL



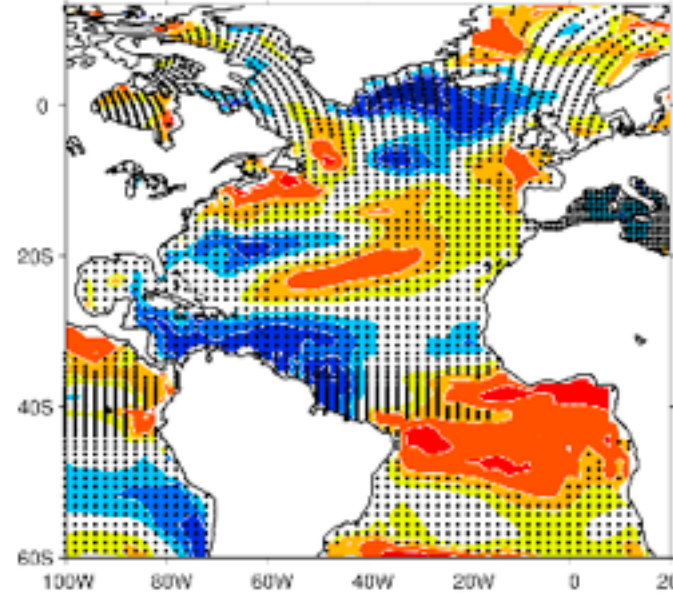
EAME – 10YR

Correlations avec OBS

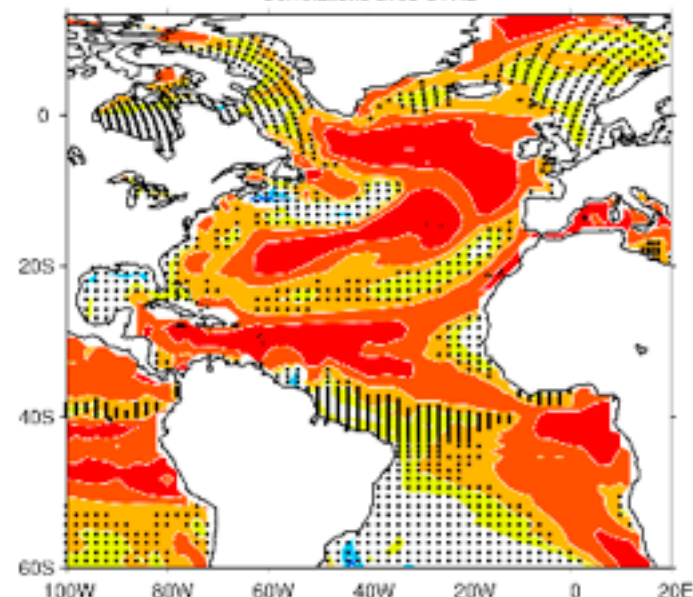


EAMW – 10YR

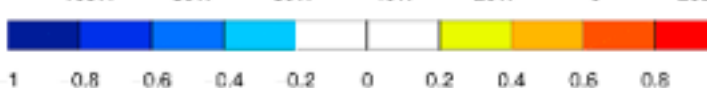
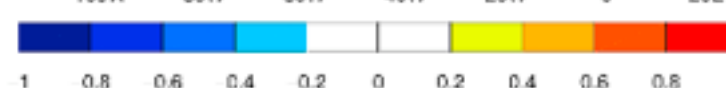
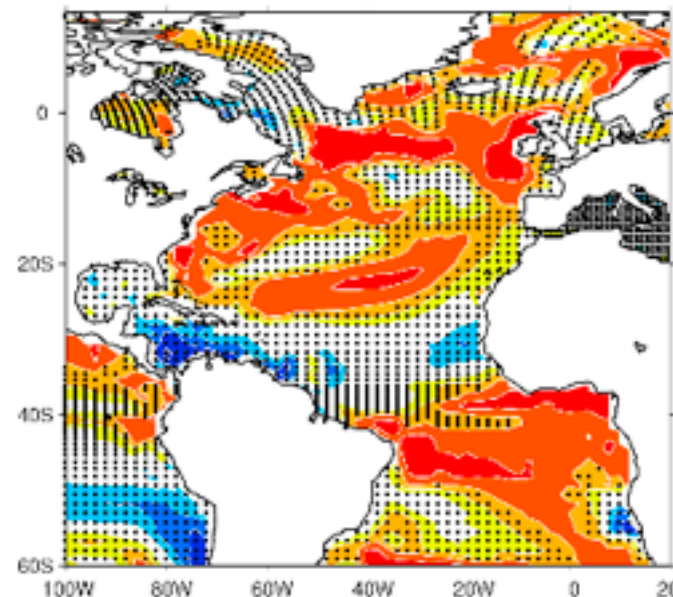
Correlations avec OBS



Correlations avec CTRL



Correlations avec CTRL

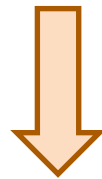


Forecasting with surface nudging only?

ECHAM5/MPI-OM

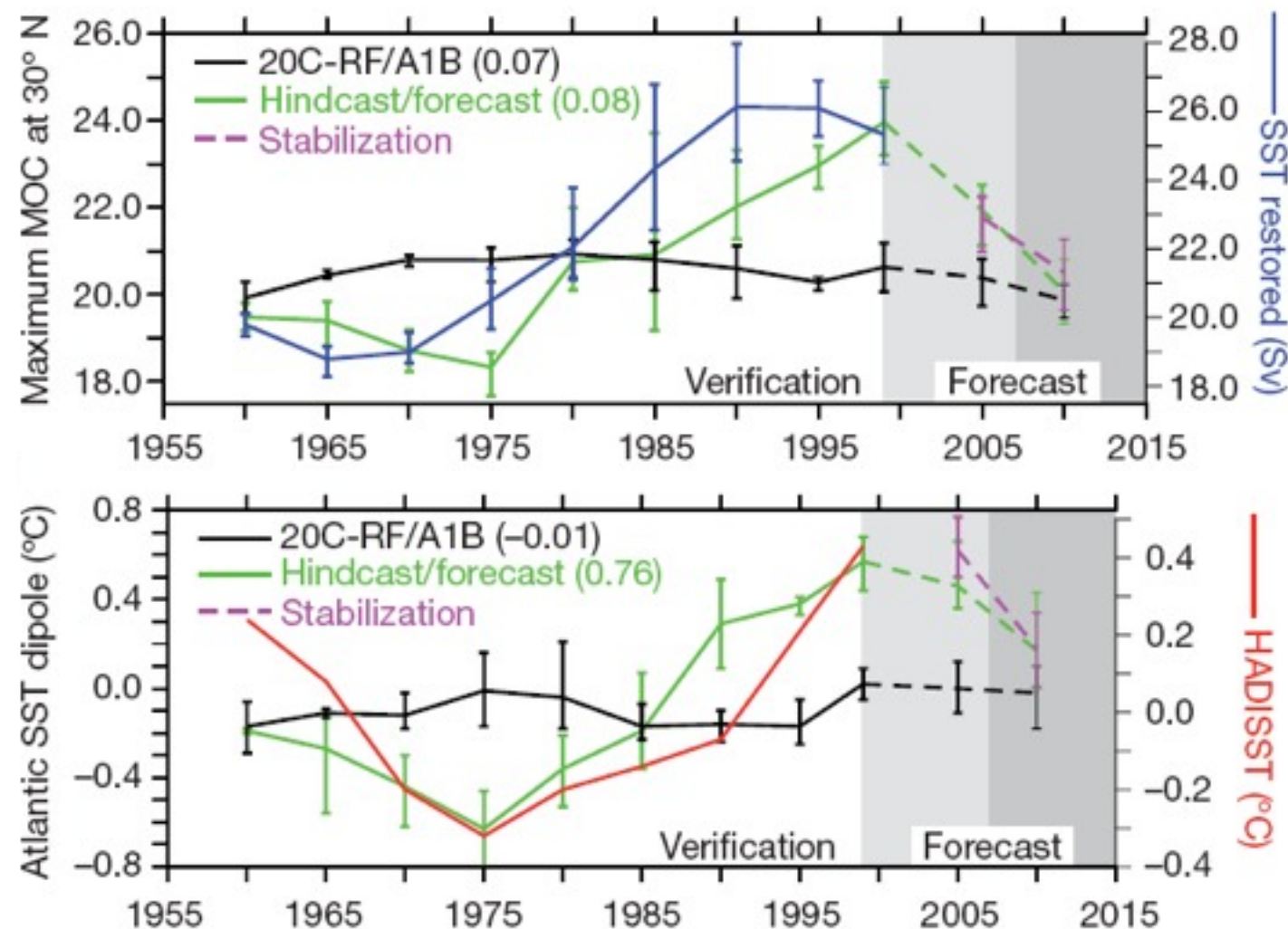
SST nudging equatorward
of lat(60°)

Keenlyside et al. 2008

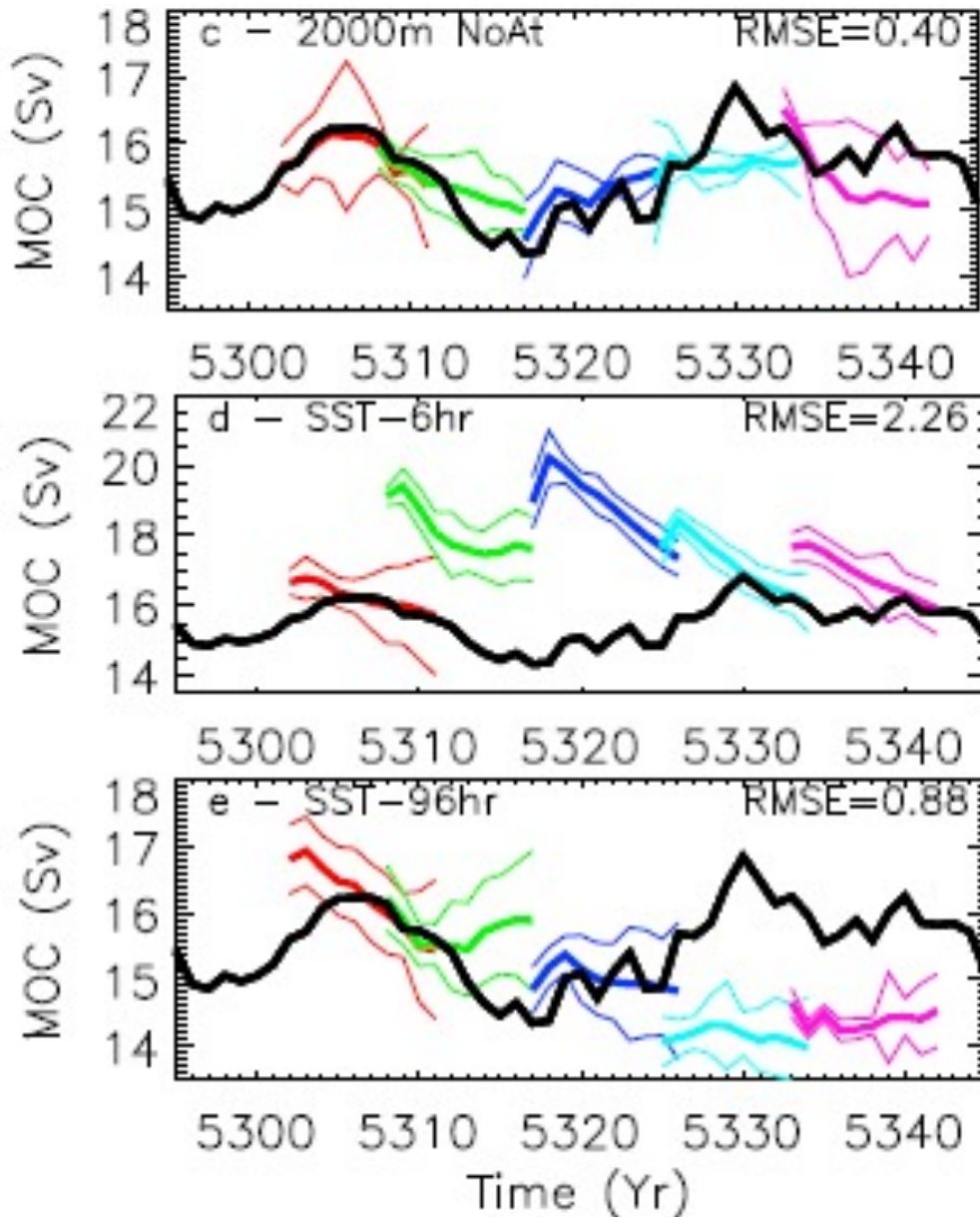


Low frequency variations of the oceanic circulation and the associated SST pattern are better reproduced than in «simple » scenario run.

Decadal timescales



Forecasting with surface nudging only?

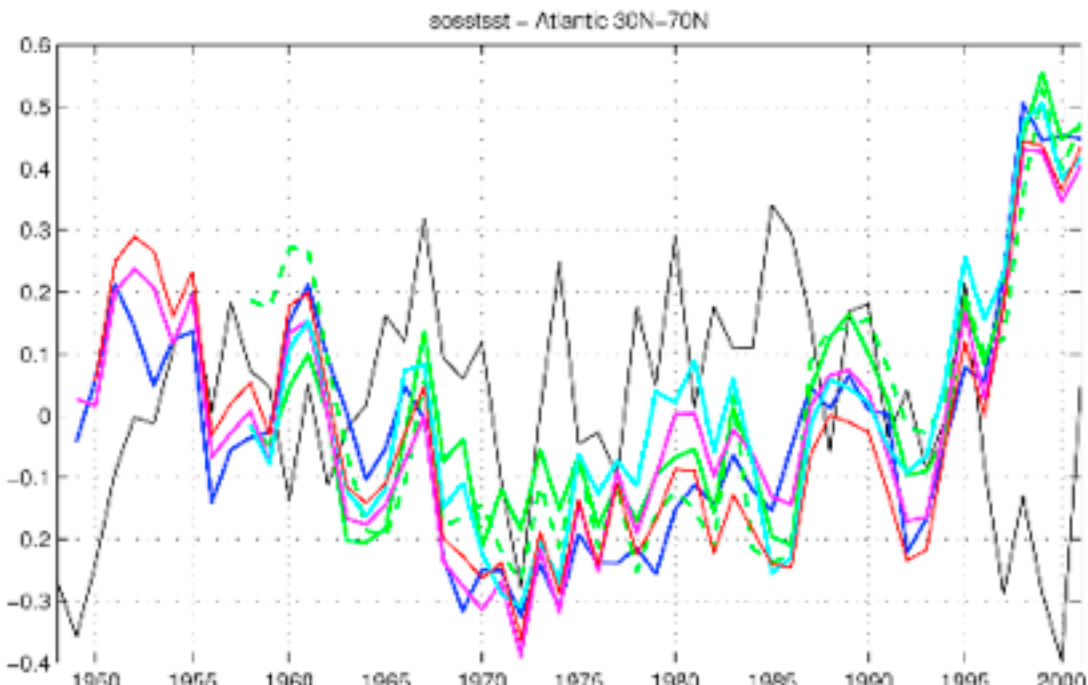
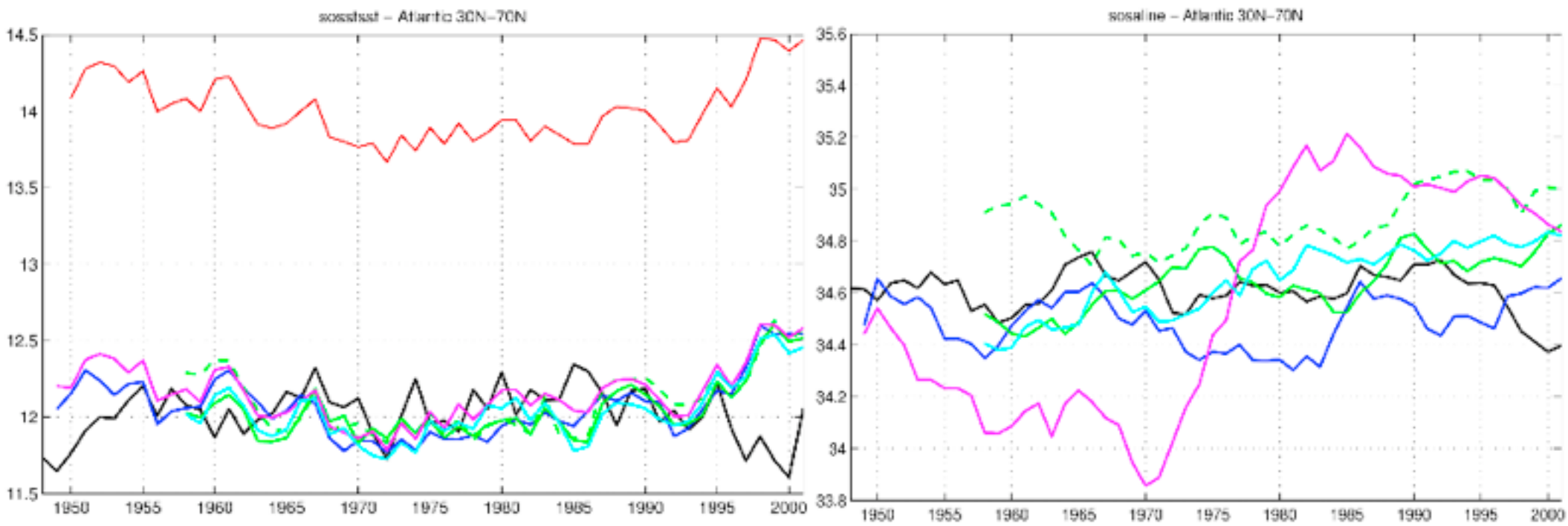


Decadal timescales

HadCM3 idealised experiments

impact of assimilating different amounts of ocean data on decadal climate prediction skill.

Dunstone and Smith 2010



Obs

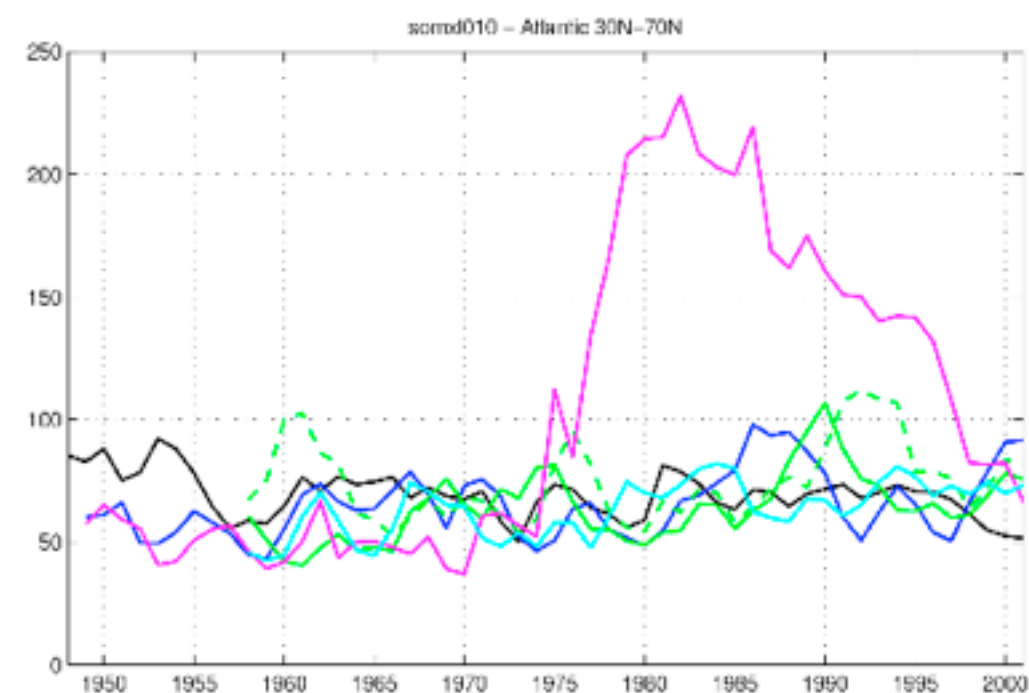
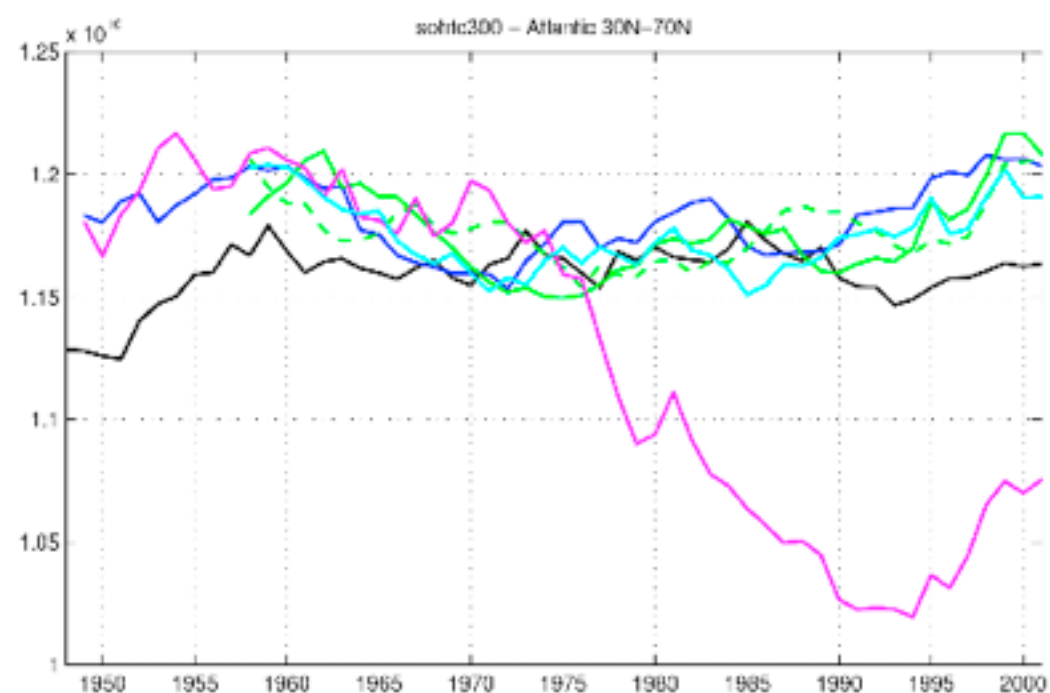
CM5V2AME – SST Reynolds 40W/m^2

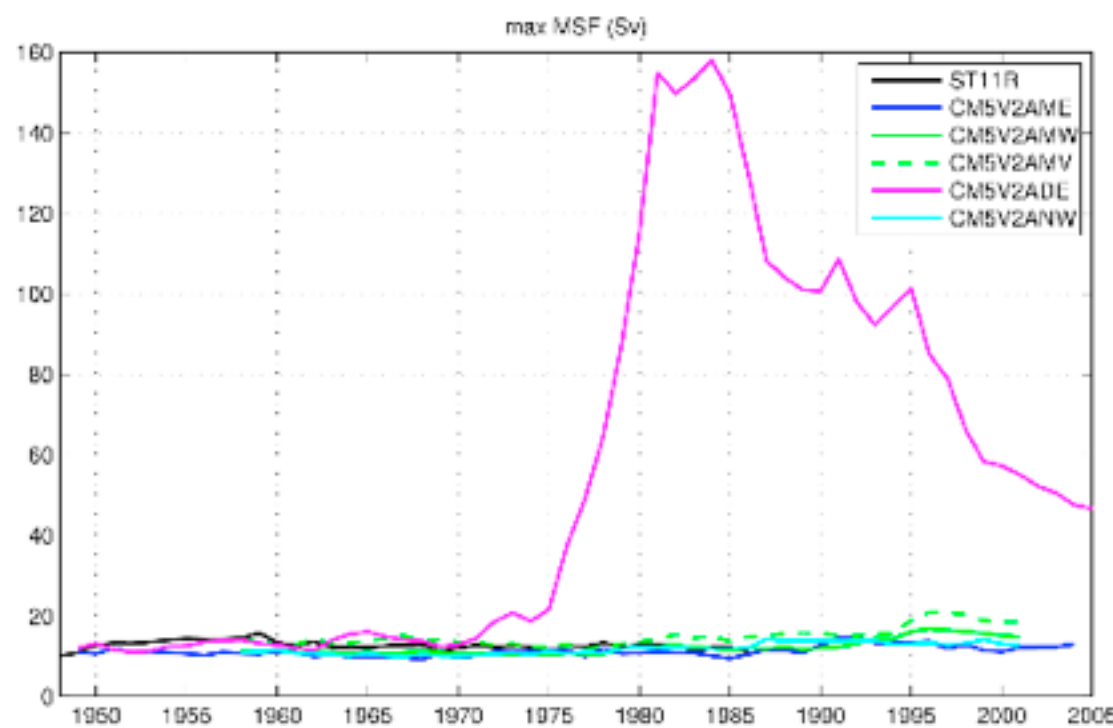
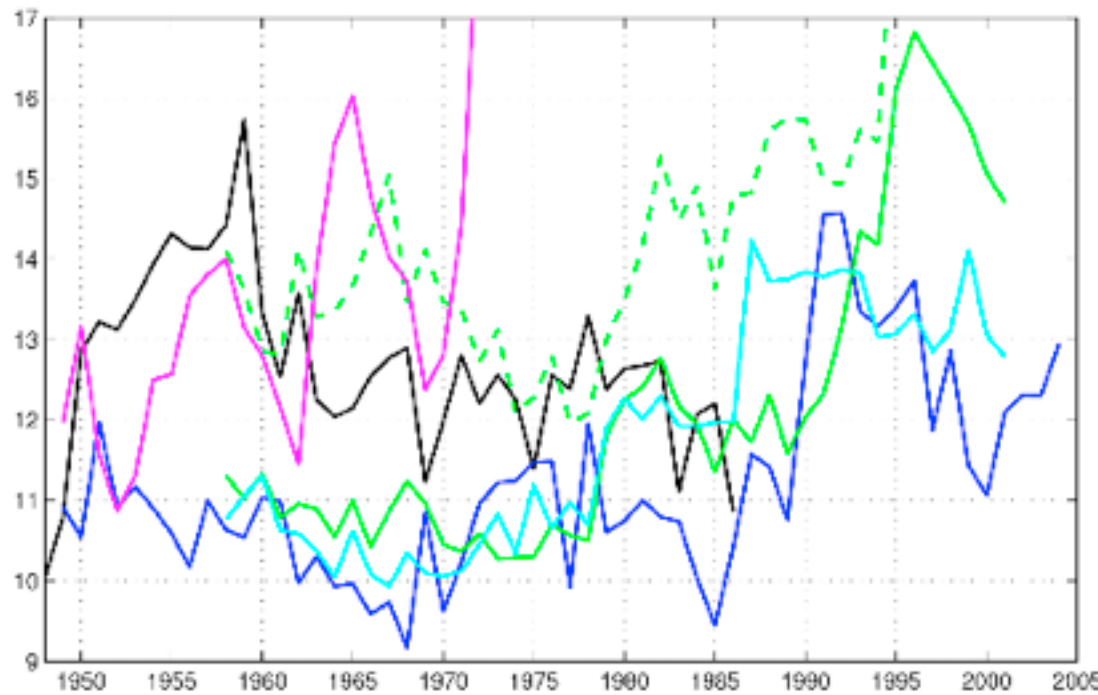
CM5V2ADE – SST Reynolds 1200W/m^2

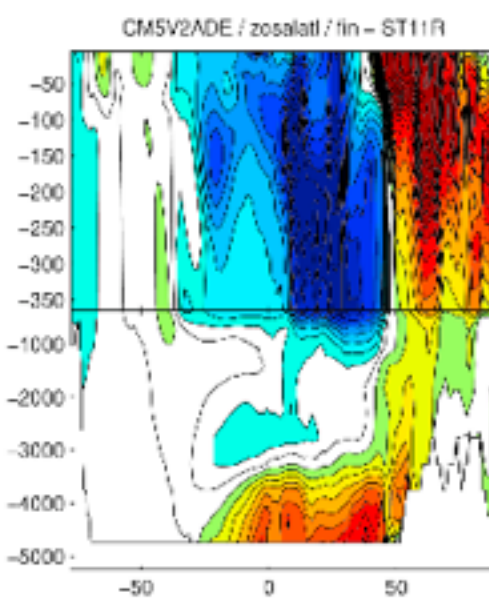
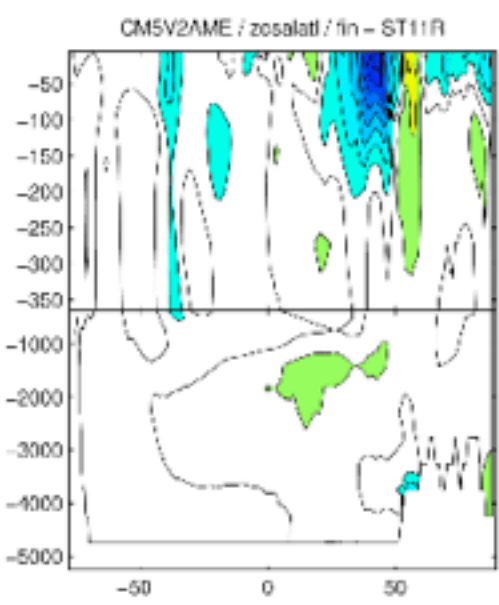
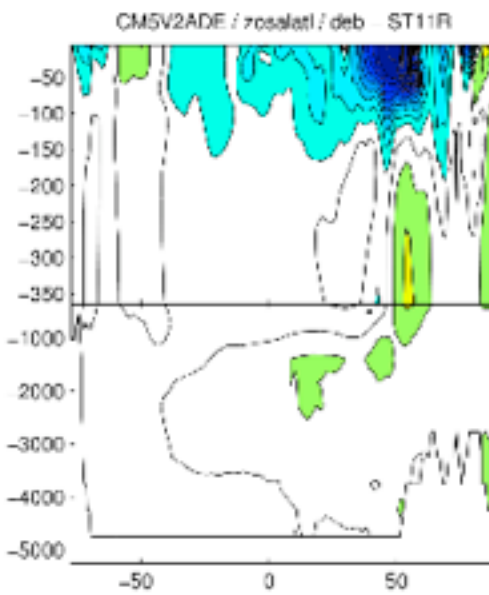
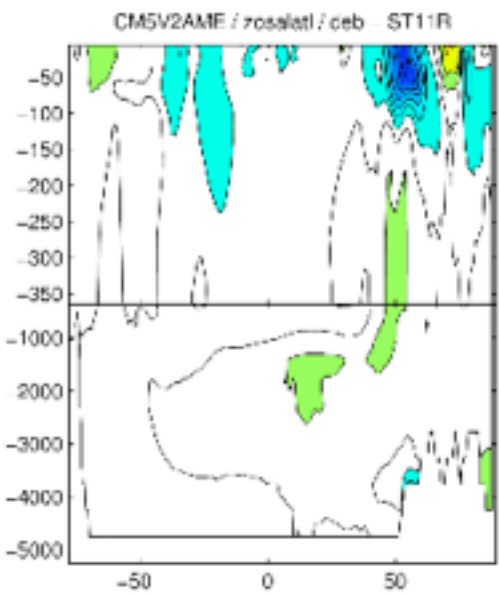
CM5V2AMW – SST Reynolds 40W/m^2
+ wind stress (x2)

CM5V2ANW – SST Reynolds 40W/m^2
+ wind stress x 2

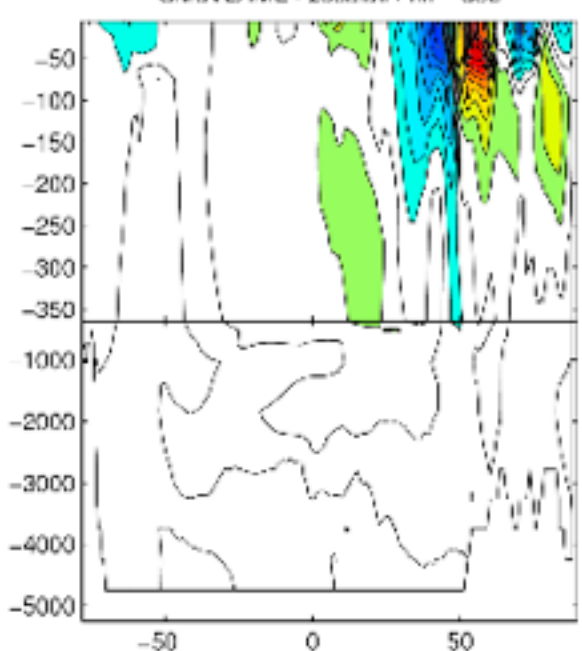
départ AME



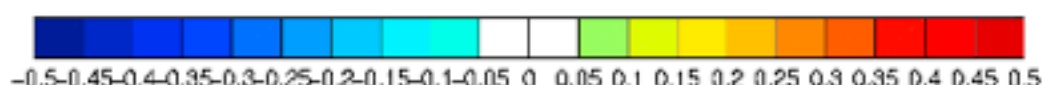
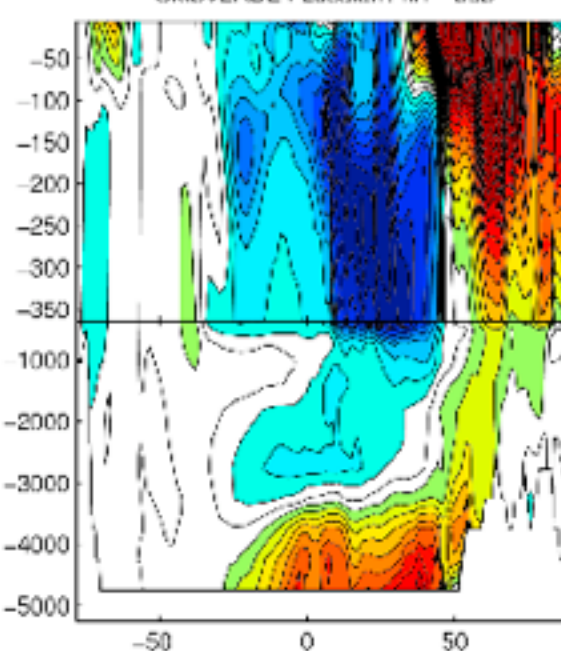
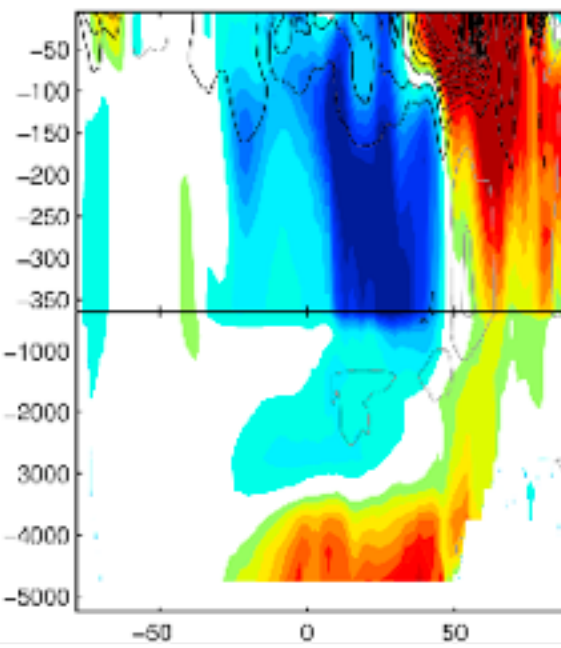
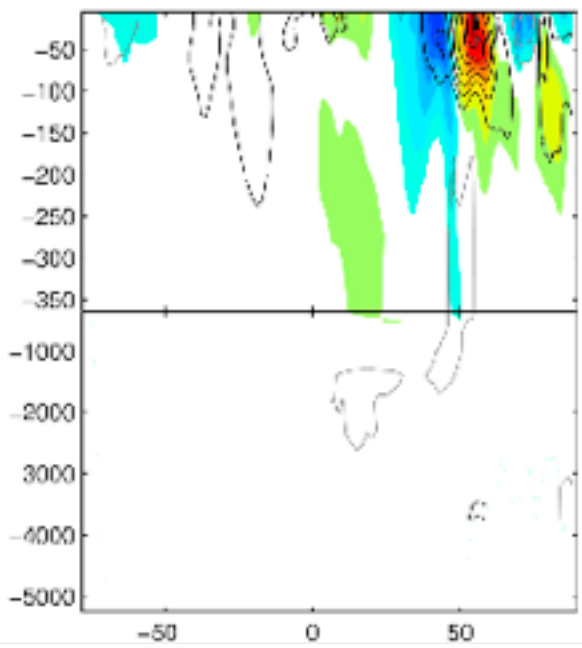


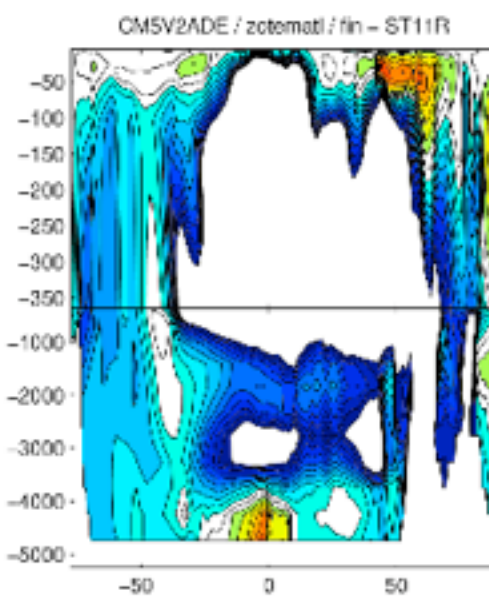
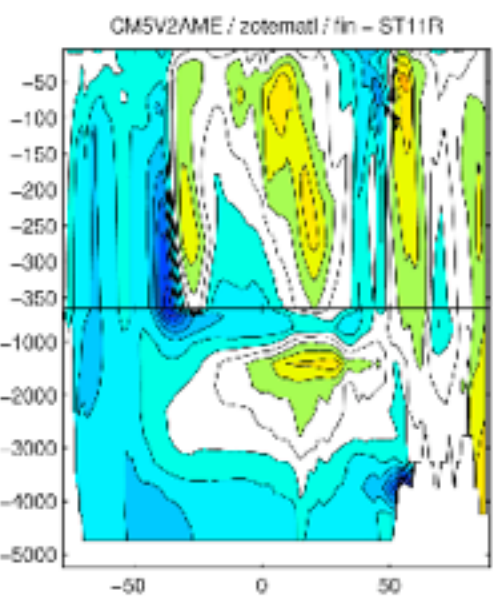
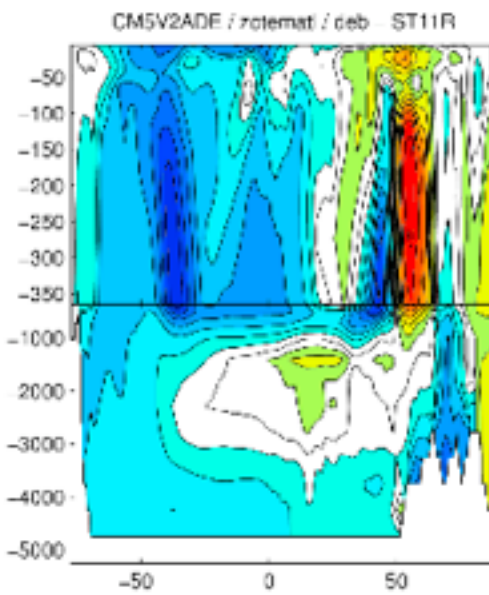
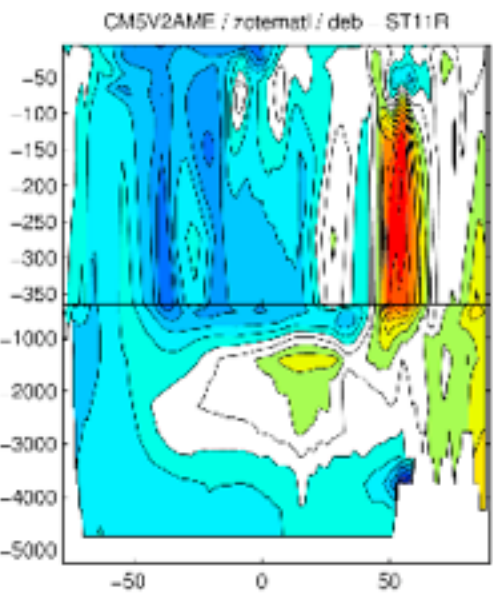


CM5V2AME / zosalat / fin - deb

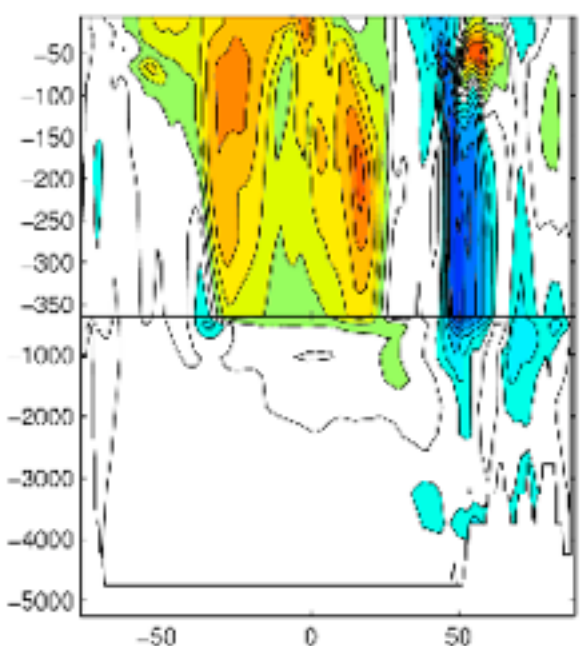


CM5V2ADE / zosalat / fin - deb

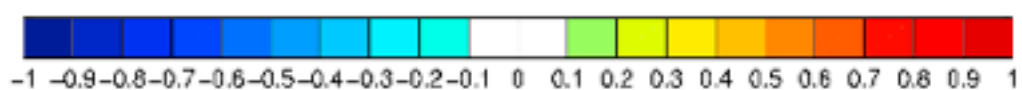
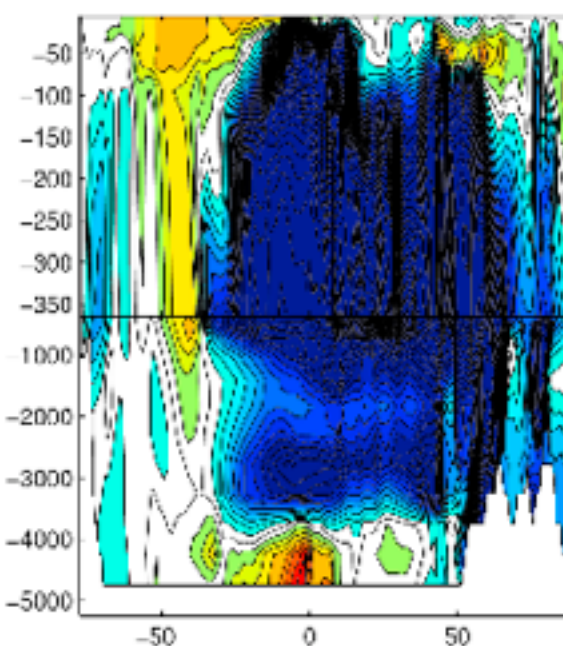
CM5V2AME / zosalat / contourdeb - ST11R, colors: fin-deb
CM5V2ADE / zosalat / contourdeb - ST11R, colors: fin-deb



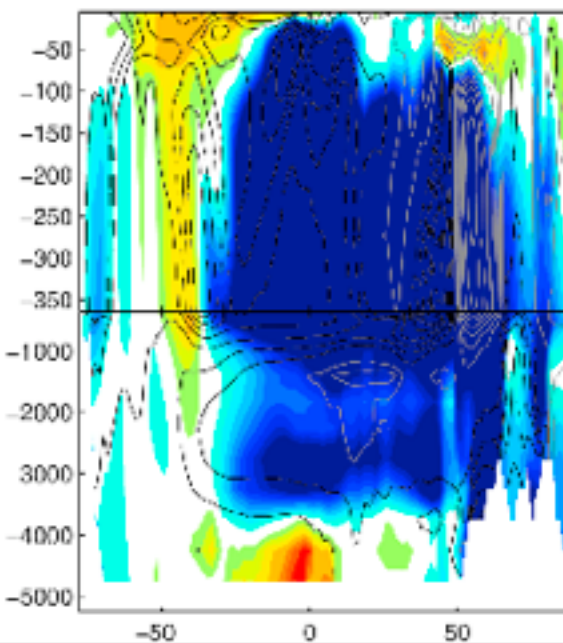
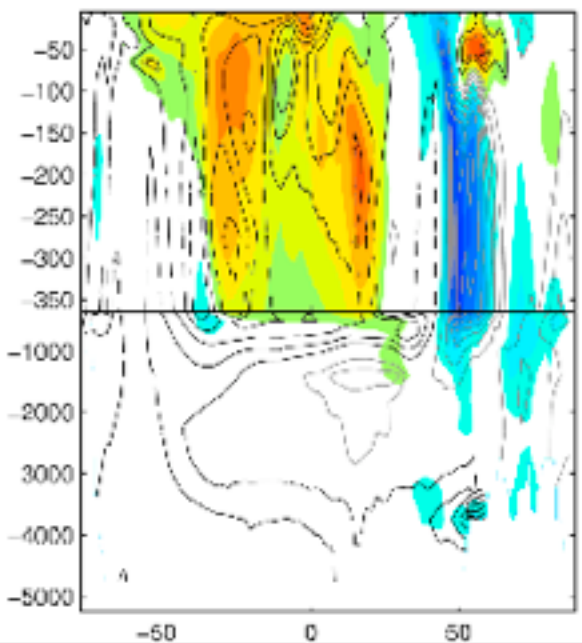
CM5V2AME / zotematl / fin - deb



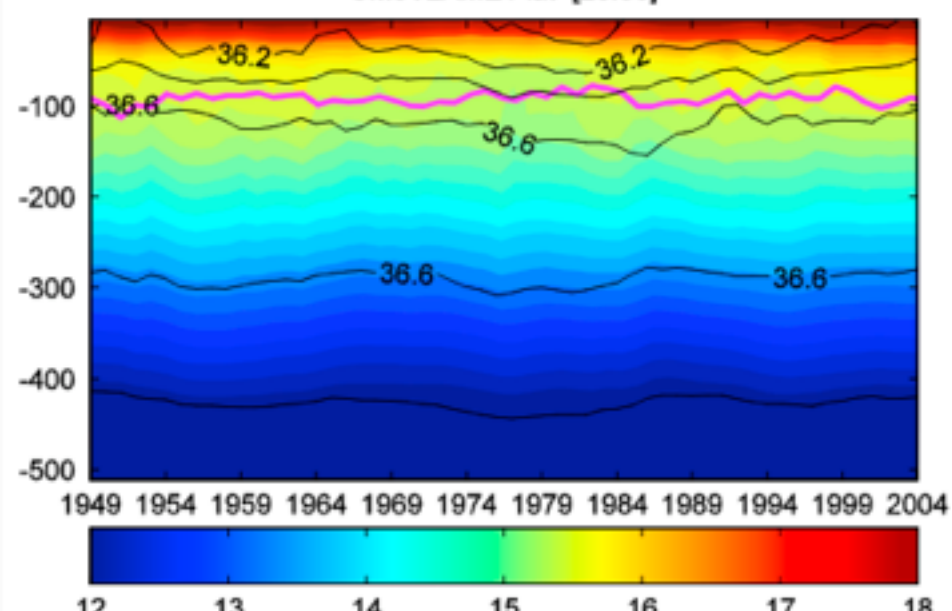
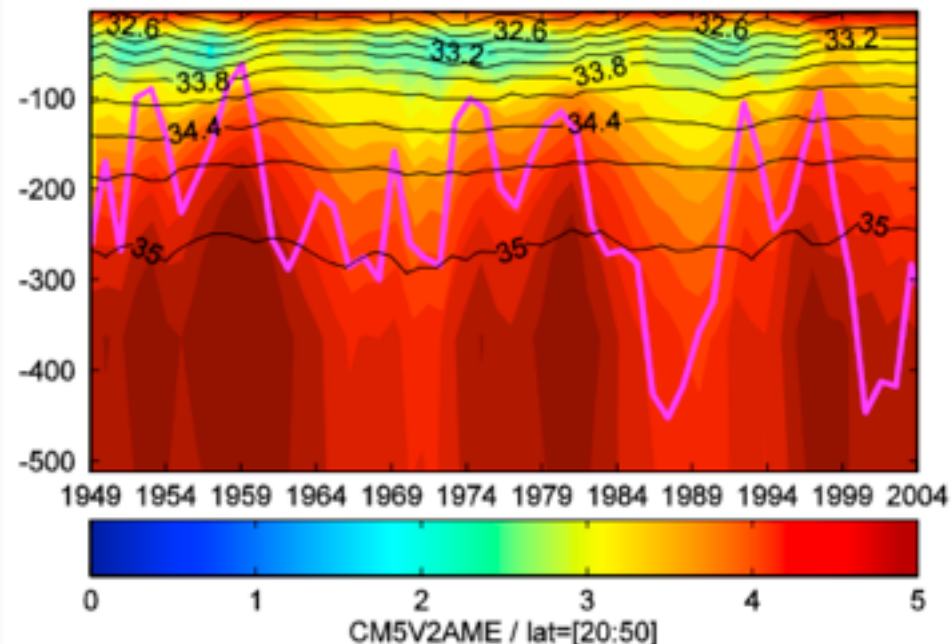
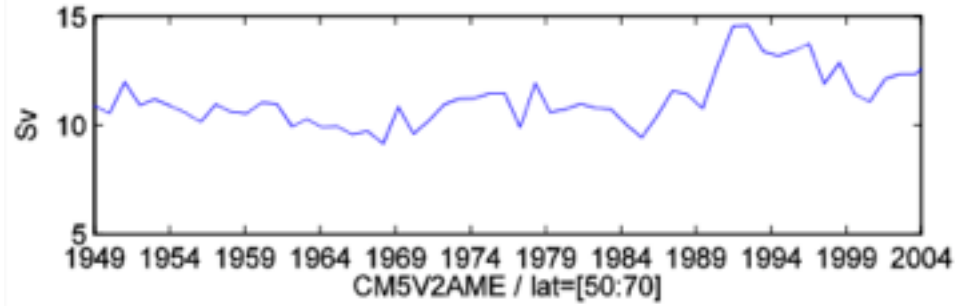
CM5V2ADE / zotematl / fin - deb



CM5V2AME / zotematl / contour:deb - ST11R, colors: fin-deb CM5V2ADE / zotematl / contour:deb - ST11R, colors: fin-deb



AMOC



AMOC

